

Министерство образования и науки Российской Федерации

Федеральное государственное автономное образовательное учреждение высшего образования

«НАЦИОНАЛЬНЫЙ ИССЛЕДОВАТЕЛЬСКИЙ ТОМСКИЙ ПОЛИТЕХНИЧЕСКИЙ УНИВЕРСИТЕТ»

Институт природных ресурсов

Направление подготовки (специальность) <u>130501.65</u> «Проектирование, сооружение и эксплуатация газонефтепроводов и газонефтехранилищ»

Кафедра Транспорта и хранения нефти и газа

ДИПЛОМНАЯ РАБОТА

Тема работы
Контроль качества сварных соединений резервуара вертикального стального типа РВС 10000 м³

УДК 621.791.05:622.692.23

Студент

Группа	ФИО	Подпись	Дата
3-2T01	Клюев Г.В.		15.06.2016

Руководитель

	<u> </u>	•		
Должность	ФИО	Ученая степень,	Подпись	Дата
		звание		
доцент	Лунева Е.Е.	к.т.н., доцент		15.06.2016

КОНСУЛЬТАНТЫ:

По разделу «Финансовый менеджмент, ресурсоэффективность и ресурсосбережение»

Должность	ФИО	Ученая степень,	Подпись	Дата
		звание		
доцент	Вазим А.А.	к.э.н, доцент		15.06.2016

По разделу «Социальная ответственность»

I I				
Должность	ФИО	Ученая степень,	Подпись	Дата
		звание		
доцент	Гуляев М.В.	доцент		15.06.2016

допустить к защите:

Зав. кафедрой	ФИО	Ученая степень, звание	Подпись	Дата
ТХНГ	Рудаченко А.В.	к.т.н, доцент		15.06.2016



Министерство образования и науки Российской Федерации

Федеральное государственное автономное образовательное учреждение высшего образования

«НАЦИОНАЛЬНЫЙ ИССЛЕДОВАТЕЛЬСКИЙ ТОМСКИЙ ПОЛИТЕХНИЧЕСКИЙ УНИВЕРСИТЕТ»

Институт природных ресу	TO COD			
	<u>рсов</u> специальность)_ <u>130501.65 «I</u>	Троектирование.	сооруж	ение и
	оводов и газонефтехранилиш			
Кафедра Транспорта и хр				
				УТВЕРЖДАЮ: Зав. кафедрой
		(Подпись) (Дата)	<u>Рудаченко А.В.</u> (Ф.И.О.)
	ЗАДАНИЕ	L	£ 0	
В форме:	олнение выпускной квалис	рикационнои ра	ООТЫ	
дипломной работы				
_				
Студенту:		ФИО		
Группа		ФИО		
3-2T01	Клюеву Григорию Владимировичу			
Тема работы:				
Контроль качества сварни типа РВС 10000 м ³	ых соединений резервуара ве	ертикального стал	ІЬНОГО	
Утверждена приказом диј	ректора (дата, номер)	От 20.0	4.2016.	№ 3079/c
Срок сдачи студентом вы	полненной работы:		15.06.20	16
ТЕХНИЧЕСКОЕ ЗАДАН	ИЕ:			
Исходные данные для ра	асчета толщины стенки и у	стойчивости РЕ	BC – 100	000m ³
t _{min} (на глубине 0,5м от по	оверхности), °С			4
t _{max} (по поверхности слоя)), °C			24
t _{н.к.} – температура начала	кипения, °С			69
Коэффициент оборачивае	мости резервуара			52

(число циклов заполнения/опорожнения резервуара в год)

Минусовой допуск на прокат	-0,3
Припуск на коррозию, мм	0,61
Внутренний диаметр стенки по нижнему поясу	
D=2*R _p , м	25,402
Тип стационарной крыши	Коническая
Размер листа h x ℓ, м	2 x 8
Строжка листов:	
- по длине, $\Delta\ell$, мм	20
- по ширине, Δh, мм	10
Номинальный (проектный) объем резервуара, V, м ³	10000
Геометрический (строительный) объем, V_p , M^3	10075,945
Полный объем (с учетом объема под кровлей), $V_{o.p.}$, M^3	10433,504
Коэффициент использования геометрической емкости	93,32
$\eta_3=V_{\Pi}/V_p$, %	
Тип резервуара	PBC
Хранимый продукт	Нефть
Высота, м	
- вертикальная, H _p	17,91
- крыши, H _k	2,117
- полная, $H_{rn} = H_p + H_k$	20,027
Проектный уровень, м	
- налива (max допустимый), H _{max}	17,61
- откачки (min допустимый), H _{min}	0,9
Плотность продукта, кг/м ³	860
ρ ₂₀ (при t=20°C)	
Технология сборки	Листовая
Сталь	
- Верхние пояса	C255
- Нижние пояса	C285

Проводят 100% контроль качества сварных соединений

Перечень подлежащих исследованию, проектированию и разработке вопросов	1. Методы контроля резервуаров и магистральных нефтепроводов
	2. Диагностика резервуаров
	3. Техническое обслуживание
	4. Факторы повреждений и аварий резервуаров
	5. Основные виды повреждений и дефектов
	6. Перечень работ по оценке технического состояния резервуарных конструкций
	7. Виды контроля сварных соединений резервуарных конструкций

	8.	Сварные соединения резервуаров
	9.	Требования к конструкции сварных
		соединений, подготовке кромок,
		форме и размерам сварных швов
		конструктивных элементов
		резервуаров
	<i>10</i> .	Ручная дуговая сварка
	11.	Автоматическая дуговая сварка
	<i>12</i> .	Дефекты сварных швов
Перечень графического материала		

Консультанты по разделам выпускной квалификационной работы

Раздел	Консультант
Финансовый менеджмент, ресурсоэффективность и ресурсосбережение	Вазим А.А., к.э.н., доцент
Социальная ответственность	Гуляев М.В., доцент

Дата выдачи задания на выполнение выпускной	14.03.2016г.
квалификационной работы по линейному графику	14.03.20101.

Задание выдал руководитель:

Должность	ФИО	Ученая степень, звание	Подпись	Дата
доцент	Лунева Е.Е.	к.т.н., доцент		14.03.2016г.

Задание принял к исполнению студент:

задание принял к неполнению студент.			
Группа	ФИО	Подпись	Дата
3-2T01	Клюев Г.В.		14.03.2016г.

ЗАДАНИЕ ДЛЯ РАЗДЕЛА «ФИНАНСОВЫЙ МЕНЕДЖМЕНТ, РЕСУРСОЭФФЕКТИВНОСТЬ И РЕСУРСОСБЕРЕЖЕНИЕ»

Студенту:

Группа	ФИО
3-2T01	Клюеву Григорию Владимировичу

Институт	Природных ресурсов	Кафедра	Транспорта и хранения нефти и газа
Уровень образования	Специалист (инженер)	Направление/ специальность	Проектирование, сооружение и эксплуатация газонефтепроводов и газонефтехранилищ

1. Сводная таблица основных параметров сварки	Расчет расходных материалов для сварочных работ
2. Стоимость материалов на проведение мероприятия	Расчет стоимости расходов материалов
3. Типовые расчеты при сооружении и ремонте стальных вертикальных резервуаров	Расчет сметы на строительство
4. Трудовой кодекс РФ, Трудовой (коллективный) договор предприятия	Расчет заработной платы
Перечень вопросов, подлежащих исследованию,	проектированию и разработке:
1. Расчет расхода сварочных материалов и времени сварки	
2. Расчет эксплуатационных затрат с применением механизированной сварки	
3. Расчет эксплуатационных затрат с применением ручной дуговой сварки	
4. Расчет времени на проведение мероприятия	
5. Расчет затрат на оплату труда	
6. Страховые взносы	
о. Стриховые взносы	

Дата выдачи задания для раздела по линейному графику	05.05.2016г.

Задание выдал консультант:

Должность	ФИО	Ученая степень,	Подпись	Дата
		звание		
доцент	Вазим А.А.	к.э.н, доцент		05.05.2016г.

Задание принял к исполнению студент:

Группа	ФИО	Подпись	Дата
3-2T01	Клюев Г.В.		05.05.2016г.

ЗАДАНИЕ ДЛЯ РАЗДЕЛА «СОЦИАЛЬНАЯ ОТВЕТСТВЕННОСТЬ»

Студенту:

Группа		ФИО
	3-2T01	Клюеву Григорию Владимировичу

Институт	Природных ресурсов	Кафедра	Транспорта и хранения нефти и газа
Уровень образования	Специалист (инженер)	Направление/ специальность	Проектирование, сооружение и эксплуатация газонефтепроводов и газонефтехранилищ

Исходные данные к разделу «Социальная ответс	твенность»:
1. Характеристика объекта исследования (вещество, материал, прибор, алгоритм, методика, рабочая зона) и области его применения	Рабочая зона находится на открытом воздухе. Производство работ предусмотрено в теплый период года. При производстве работ возможно проявление вредных и опасных производственных факторов, а также могут возникать факторы, негативно влияющие на экологию.
Перечень вопросов, подлежащих исследованию,	проектированию и разработке:
6.1. Производственная безопасность	
6.1.1. Анализ выявленных вредных факторов	 Климатические условия Повышенная запыленность и загазованность воздуха рабочей зоны Повышенный уровень шума Ионизирующее излучение
6.1.2. Анализ выявленных опасных факторов	1. Движущиеся машины и механизмы 2. Поражение электрическим током 3. Взрывоопасность баллонов с горючим газом
6.2. Экологическая безопасность:	 Загрязнение выбросами выхлопных газов от строительной техники. Выбросы при сварочных работах. Образование и размещение отходов, образующихся при работах.
6.3. Безопасность в чрезвычайных ситуациях:	1. Пожарная безопасность. 2. Меры пожарной безопасности при подготовке и производстве сварочных работ
6.4. Правовые и организационные вопросы обеспечения безопасности	В области охраны труда и безопасности жизнедеятельности трудовую деятельность регламентируют правовые, нормативные акты, инструктивные акты в области охраны труда и отраслевые документы: 1. Закон об основах охраны труда в РФ №181-Ф3 от 17.07.1999 г (с изменениями от 20 мая 2002 г., 10 января 2003 г., 9 мая, 26 декабря 2005г. 2. Федеральный закон о промышленной безопасности опасных производственных

объектов 116-Ф3 om 21.07.1997 г.
3. Трудовой кодекс №197-ФЗ (с изм. и доп.,
вступ. в силу с 13.04.2014)
Правила безопасности в нефтяной и газовой
промышленности ПБ 08-624-03
Инструкции по технике безопасности
предприятия.

Дата выдачи задания для раздела по линейному графику	12.05.2016г.

Задание выдал консультант:

Должность	ФИО	Ученая степень, звание	Подпись	Дата
доцент	Гуляев М.В.	доцент		12.05.2016г.

Задание принял к исполнению студент:

Группа	ФИО	Подпись	Дата
3-2T01	Клюев Г.В.		12.05.2016г.



Министерство образования и науки Российской Федерации

Федеральное государственное автономное образовательное учреждение высшего образования

«НАЦИОНАЛЬНЫЙ ИССЛЕДОВАТЕЛЬСКИЙ ТОМСКИЙ ПОЛИТЕХНИЧЕСКИЙ УНИВЕРСИТЕТ»

институт <u>природных ресурсов</u>
Направление подготовки (специальность) 130501.65 «Проектирование, сооружение и
эксплуатация газонефтепроводов и газонефтехранилищ»

Уровень образования инженер

Кафедра Транспорта и хранения нефти и газа

Период выполнения _____ (осенний / весенний семестр 2015/2016 учебного года)

Форма представления р	работы:
-----------------------	---------

	_
дипломная	nanara
липломная	Dawria

КАЛЕНДАРНЫЙ РЕЙТИНГ-ПЛАН выполнения выпускной квалификационной работы

	Срок сдачи студентом выполненной работы:	15.06.2016г
l		

Дата контроля	Название раздела (модуля) / вид работы (исследования)	Максимальный балл раздела (модуля)
14.03.2016	Методы контроля резервуаров	15
28.03.2016	Диагностика резервуаров	15
15.04.2016	Сварка	15
29.04.2016	Расчетная часть	15
05.05.2016	Финансовый менеджмент, ресурсоэффективность и ресурсосбережение	10
12.05.2016	Социальная ответственность	10
19.05.2016	Заключение	10
06.06.2016	Презентация	10
	ИТОГО	100

Составил преподаватель:

Должность	ФИО	Ученая степень, звание	Подпись	Дата
доцент	Лунева Е.Е.	к.т.н, доцент		01.03.2016

СОГЛАСОВАНО:

Зав. кафедрой	ФИО	Ученая степень, звание	Подпись	Дата
ТХНГ	Рудаченко А.В.	к.т.н, доцент		01.03.2016

Реферат

Выпускная квалификационная работа состоит из: 99 с., $\underline{16}$ рис., $\underline{16}$ табл., $\underline{28}$ источников.

Ключевые слова: методы контроля качества, сварные соединения, резервуары, стальные конструкции, виды дефектов, сварной шов, технические требования, требования безопасности.

Объектом исследования являются сварные швы стальных резервуарных конструкций

Цель работы: <u>рассмотреть методы контроля сварных соединений резервуарных конструкций, а также виды дефектов сварных соединений.</u>

В процессе исследования проводились: <u>расчеты необходимого количества листов</u> для сооружения резервуара, высоты и объема резервуара типа РВС 10000 м³. Определение номинальной толщины стенки и расчеты на устойчивость резервуара. Технико-экономическая часть. Приведены мероприятия по охране труда и безопасности строительства, охране окружающей среды.

Основные конструктивные, технологические и технико-эксплуатационные характеристики: <u>сварочно-монтажные работы, сооружение резервуара, определение толщины стенки резервуара, проверка на устойчивость.</u>

Степень внедрения: используется на практике.

Область применения: применяется при сооружении и эксплуатации резервуаров.

Экономическая эффективность/значимость работы: <u>экономический анализ</u> сравнения двух видов сварки: механизированным способом и с помощью ручной дуговой сварки.

Изм.	Лист	№ докум.	Подпись	Дата	Контроль качества сварных соединений р типа РВС 1			ра в	ертикально	го стального
Разр	аб.	Клюев Г.В.					Пит	١.	Лист	Листов
Руко	вод.	Лунева Е.Е.							9	99
Конс	ульт.				Реферат					
Зав.	Каф.	Рудаченко				ТПУ ТХНГ гр. з-2Т			р. з-2Т01	

Abstract

Final qualifying work consists of: 99 pages, 16 figure, 16 table, 28 resource.

Keywords: quality control methods, welded joints, anks, steel structures, types of defects, weld, technical requirements, security requirements.

Object of research are: welds steel tank designs.

Objective: to examine methods of control of welded joints of tank structures, and the types of weld defects.

In the process studies were conducted: <u>calculation of the required number of sheets for the construction of the tank, height and volume of the reservoir type RVS 10,000 m3. The definition of the nominal wall thickness and calculations on the stability of the tank. Techno-economic part. Given events on labor protection and building safety, the protection of the environment.</u>

The basic constructive, technological and technical-operational characteristics: <u>welding</u> and <u>Assembly works</u>, construction of reservoir, determination of the wall thickness of the tank, checking for stability.

Level of implementation: at the implementation stage.

Scope of application: used in the construction and operation of reservoirs.

Economic efficiency and significance of the work: <u>an economic analysis comparing two types of welding: mechanically and with the help of manual arc welding.</u>

					Контроль качества сварных соединений р типа РВС 1		а вертикально	го стального	
Изм.	Лист	№ докум.	Подпись	Дата	а				
Разр	аб.	Клюев Г.В.				Лит.	Лист	Листов	
Руко	вод.	Лунева Е.Е.					10	99	
Конс	ульт.				Реферат				
Зав.	Каф.	Рудаченко				ТПУ ТХНГ гр. з-2Т(
I									

Содержание

. Каф.	Рудаченко			•	דחצ	ΤΧΗΓ ε	р. з -2Т 0
сульт.	лупсва Е.Е.			Содержание	\vdash	' '	
раб. овод.	Клюев Г.В. Лунева Е.Е.				<i>Лит.</i>	Лист 11	Листов 99
Лист		Подпись	дата		Dum	Пиот	Пистос
ļ	No Di		<i></i>	Контроль качества сварных соединений _і типа РВС 1		зертикально <i>а</i>	го стального
				W			
Списо	ок литературы		•••••				98
	-	-		ные вопросы обеспечения безоп			
		-		ных ситуациях			
				ть			
				водственных факторов			
	-			водственных факторов			
				ность			
	-	-		r - r			
				роприятия			
	-						
				руда			
				ение мероприятия			
		•		затрат с применением ручной д		-	
	-	-		затрат с применением механизи			
				х материалов и времени сварки			
				урсоэффективность и ресурсосбе			
				истов, высоты и оовема резервую и толщины стенки и устойчивост			
				истов, высоты и объема резервуа			
		-		ьарка			
				варка			
	1						
3. Cı							
۷.۱	_	_	-	н сварных сосдинений, подготовы энструктивных элементов резерв	_		
	-		-	вуаров и сварных соединений, подготовы			
				оединении резервуарных констру овуаров			
				технического состояния резерву рединений резервуарных констру			
				технического состояния резерву			
				варии резервуаровний и дефектов			
		-		варий резервуаров			
				e			
	-						
	-						
		-		I			
				[
		-		OHM.			
	-			ОПИЯ			
				,1D			
	-	-		ль			
				ный методы			
レー・ー・	STITIO						1 7

Введение

Возрастной состав резервуарных парков составляет: 30% - более 30 лет эксплуатации и около 40% - 20...30 лет эксплуатации. Поэтому, все вопросы, связанные с мониторингом оборудования резервуарных парков являются актуальной задачей специалистов системы магистрального транспорта.

Комплекс диагностических методов исследования, определяющих дефекты резервуаров товарной нефти на сегодняшний день достаточно большой: ультразвуковой, капиллярный, магнитный, радиационный, радиоволновый, электромагнитный, визуальный. Их правильный выбор позволит максимально быстро и качественно получать необходимые характеристики объектов, в частности характеристики состояниях сварных соединений резервуаров. Это во многом определяет успешность длительной эксплуатации объектов магистрального транспорта. [1,2]

			1	ı 1					
					Контроль качества сварных соединений резервуара вертикального стального типа РВС 10000 м ³				го стального
Изм.	Лист	№ докум.	Подпись	Дата					
Разр	аб.	Клюев Г.В.				ſ	lum.	Лист	Листов
Руко	вод.	Лунева Е.Е.						12	99
Консу	льт.				Введение	ТПУ ТХНГ гр. з-2Т			
3ав. І	(аф.	Рудаченко						р. з-2Т01	

1. Методы контроля резервуаров

Таблица 1.1.

Методы контроля

Акустический*	Теневой, эхо-импульсный, резонансный, свободных
•	колебаний, эмиссионный, импедансный,
	велосиметрический.
Капиллярный	Цветной, яркостный, люминесцентный, люминесцентно-
	цветной, фильтрующихся частиц, комбинированный.
Магнитный*	Магнитопорошковый, Магнитографический,
	Индукционный, Магнитополупроводниковый.
Оптический	Прошедшего излучения, Отраженного излучения,
	Собственного излучения
Тепловой	Прошедшего излучения, Отраженного излучения,
	Собственного излучения
Радиационный*	Рентгеновский, Гамма-Бета нейронами, Позитронный.
Радиоволновый	Прошедшего излучения, Отраженного излучения,
	Собственного излучения
Электромагнитный	Для контроля электромагнитным методом с
	использованием преобразователей: проходных,
	накладных, экранных, комбинированных.
Визуальный*	

^{* -} Методы применяющиеся для контроля сварных соединений на магистральный трубопроводах и резервуарных парках.

Таблица 1.2.

Методы контроля РП и МН

	Резервуарные парки.		методы	•	визуальный, акустический Магнитная и Ультрозвуковая					
	Магистральные		До ввод	Іо ввода: Визуальный, акустический, радиационный методы						
	нефте	проводы	После в	вола:	Магнитная лефектоскопия.					
L		*			.					
					Контроль качества сварных соединений типа РВС		вертикально	го стального		
Изи	. Лист	№ докум.	Подпись	Дата		10000 111				
Pas	раб.	Клюев Г.В.				Лит.	Лист	Листов		
Рук	вод.	Лунева Е.Е.			Методы контроля		13	99		
Кон	ульт.				резервуаров					
Зав	Каф.	Рудаченко			-	ΤΠΥ	ТХНГ г	р. з-2Т01		
			1			ı				

1.1. Визуальный и измерительный методы

Внешним осмотром, или, как его часто называют, визуальным контролем, проверяют качество подготовки и сборки заготовок под сварку, качество выполнение швов в процессе сварки и качество готовых сварных швов. Обычно осматривают все сварные соединения независимо от применения других методов контроля. Это наиболее дешевый и оперативный метод контроля.

Внешнему осмотру подвергают сварной шов и зону прилегающего к нему основного металла на расстояние не менее 20 мм от границы шва по всей протяженности сварного соединения с двух сторон.

Контроль внешним осмотром сварных соединений, подвергающихся термообработке, осуществляется до и после нее. Сварные соединения, для которых радиационный, ультразвуковой и другие методы неразрушающего контроля невозможны, следует контролировать внешним осмотром после выполнения каждого слоя шва.

Условия проведения контроля внешним осмотром и измерением, объем контроля и нормы допустимых дефектов определяются техническими условиями на продукцию.

При внешнем осмотре контролируемый сварной шов должен быть хорошо освещен. Внешний осмотр осуществляют невооруженным глазом или с помощью обзорной либо измерительной лупы 4 — 10-кратного увеличения после тщательной очистки швов, околошовной зоны от шлака, брызг и других загрязнений. Сварные швы, срытые близлежащими деталями и недоступные прямому наблюдению, осматривают с помощью оптических приборов — эндоскопов. В промышленности применяют перископические дефектоскопы с телескопической зрительной трубкой, объективом, подвижным окуляром и прямоугольной оптической призмой, изменяющей направление лучей на 90°. Для измерения используют стальную линейку или

рулетку, а также штангенциркуль.

Для замера конструктивных элементов сварных швов разработан универсальный шаблон сварщика, который предназначен для контроля качества элемента труб при сборке и сварке стыков магистральных трубопроводов. [3,4,30]



Рис. 1.1. Универсальный шаблон сварщика

Изм.	Лист	№ докум.	Подпись	Дата

1.2. Радиографический контроль



Рис 1.2. Импульсный бетатрон МИБ - 6

Радиографический контроль, основан на использовании ионизирующего излучения, позволяет получать изображения внутренней структуры сварного соединения. Интенсивность излучения прошедшего СКВОЗЬ контролируемое изделие, меняется зависимости OT плотности В

материала и толщины.

Радиографический контроль используют для обнаружения в сварных соединениях внутренних дефектов: трещин, непроваров, усадочных раковин, пор, шлаковых, вольфрамовых, оксидных и других включений.

При радиографическом контроле нельзя выявить поры и включения с диаметром поперечного сечения меньшего размера, соответствующего удвоенной чувствительности контроля; непровары и трещины с глубиной меньшего размера, соответствующего удвоенной чувствительности контроля; непровары и трещины с раскрытием меньших значений, чем приведенные ниже; непровары и трещины, плоскость которых не совпадает с направлением просвечивания; любые дефекты, если их изображения на снимках совпадают с изображением посторонних деталей, острых углов или резких перепадов толщин свариваемых элементов.

В качестве детекторов используют светочувствительную пленку, фотобумагу или полупроводниковую пластину.

Чувствительность радиографического контроля зависит от следующих основных факторов: энергии прямого излучения, плотности и толщины просвечиваемого металла, формы и места расположения дефекта по толщине исследуемого металла, условий просвечивания (геометрических размеров изделия, источника излучения, поверхности облучения и фокусного расстояния), пленки или фотобумаги, типа усиливающего экрана и т.д. Поэтому на практике она определятся экспериментально. Чувствительность контроля может быть также определена как наименьший диаметр выявляемой на снимке проволоки проволочного эталона или наименьшая глубина выявляемой на снимке канавки канавочного эталона согласно ГОСТ 7512 – 82.

						Лист
					Методы контроля резервуаров	15
Изм.	Лист	№ докум.	Подпись	Дата		13

Выпускаемые источники ионизирующего излучения ДЛЯ неразрушающего контроля рассчитаны на диапазон энергии примерно 10 кэВ – 35МэВ. Это рентгеновские аппараты, гамма-дефектоскопы и специальные электрофизические установки – ускорители электронов. Рентгеновские аппараты применяют в цеховых и реже в полевых условиях, а также в случаях, когда к качеству сварных соединений предъявляют высокие требования. Гамма-дефектоскопы используют при контроле соединений больших толщин, a также стыков, расположенных труднодоступных местах, в полевых условиях. Ускорители электронов эффективны при дефектоскопии соединений большой толщины, в основном в цеховых условиях.

Рентгеновский аппарат служит для получения рентгеновского излучения с заданными параметрами и состоит из рентгеновской трубки, генератора высокого напряжения и аппаратуры увеличения.

Для контроля сварных соединений различных металлоконструкций широко применяют гамма-дефектоскопы, в которых использованы источники гамма-излучения. Основными характеристиками источника гамма-излучения является энергия излучения, период полураспада и начальная активность.

Радиографический контроль проводят после устранения обнаруженных при внешнем осмотре сварного соединения недопустимых наружных дефектов и зачистке его от неровностей, шлака, брызг металла, окалины и других загрязнений, изображения которых на снимке могут помешать расшифровке снимка.

После зачистке сварного соединения и устранения недопустимых наружных дефектов должна быть выполнена разметка сварного соединения на участки и маркировка участков. [3,4,30]

Изм.	Лист	№ докум.	Подпись	Дата

Лист

1.3. Радиометрический контроль

Сущность метода заключается в преобразовании плотности потока или спектрального состава прошедшего излучения в пропорциональный им электрический сигнал. Радиометрическая установка содержит источник излучения, детектор, электронную схему обработки информации, регистрирующее устройство. Радиометрический контроль в основном применяется для контроля металлоконструкций и сварных соединений в заводских условиях.

При радиометрическом контроле сварных соединений нашли применение два основных метода: среднетоковый и импульсный. В основном различие между ними определяется способом регистрации прошедшего излучения и электронной обработке дефектоскопической информации.

Источниками ионизирующего излучения в радиометрическом контроле служат радиоизотопные дефектоскопы, ускорители реже рентгеновские аппараты.

Детекторами служат ионизационные камеры, газоразрядные счетчики, полупроводниковые и сцинтилляционные детекторы.

Преимущества радиометрии: высокая чувствительность, возможность бесконтактного контроля качества движущихся изделий при их поточном производстве, высокое быстродействие электронной аппаратуры, обусловлено электрической природой выходного сигнала, что позволяет улучшить большую производительность контроля.

Используя радиоизотопные источники излучения и ускорители, можно контролировать стальные изделия толщиной до 500 мм с чувствительностью контроля примерно 2 %.

Основным недостатком радиометрии является появление сигналов от дефекта и локальных изменений толщины изделия (выпуклости шва), определяемых состоянием внешней поверхности и качеством обработки. Это затрудняет возможность определения формы, размеров и глубины залегания дефекта. Для уменьшения влияния неровностей поверхности сварного шва разработана методика оптимизации размеров детекторов в зависимости от среднего периода неоднородности выпуклости сварного шва. Помеха, связанная колебаниями толщины, устраняется пространственной фильтрацией, которая осуществляется путем выбора размера радиометрического детектора. Пространственная фильтрация основана на колебания TOM, что толщины характеризуются периодичностью. Поверхность сварного шва онжом представить виде суммы

Изм.	Лист	№ докум.	Подпись	Дата

синусоидальных колебаний толщины, причем амплитуда определенной синусоиды зависит от длины волны с помощью радиометрического детектора, регистрирующего излучение, прошедшее сквозь контролируемый сварной шов, усредняется толщина контролируемого материала вдоль продольного размера детектора. Поэтому при радиометрическом контроле происходит сглаживание спектра. Варьируя размер детектора, можно исключить из исходного спектра определенные гармоники. Например, если в продольном размере детектора укладывается целое число основных гармоник спектра неоднородности сварного шва, то основная гармоника сглаживается. Пространственная фильтрация позволяет значительно уменьшить помеху, обусловленную нег однородностью сварного шва, На этой методики разработаны блочные полупроводниковые детекторы ионизирующего излучения для контроля сварных соединений с неровной поверхностью.

 \mathbf{C} учетом особенностей радиометрического дефект контроля характеризуется параметрами сигнала: амплитудой, следующими протяженностью, крутизной переднего и заднего фронтов импульсов, конфигурацией вершины кривой, описывающей импульс. Протяженность характеризует длину дефекта в направлении перемещения контролируемого изделия. Крутизна переднего и заднего фронтов характеризует тип дефекта, Конфигурация вершины импульса характеризует сечение дефекта вдоль оси просвечивания. Плавные изменения сигнала указывают на равномерное размера дефекта 30НЫ контроля. Резкие изменение вдоль свидетельствуют о скоплении мелких дефектов, расположенных на малом расстоянии друг от друга. Оператор по характерным признакам сигнала определяет тип дефекта.

Для повышения производительности контроля увеличивается число каналов регистрации. Система автоматики осуществляет измерение текущих координат. [3,4,30]

Изм.	Лист	№ докум.	Подпись	Дата

1.4. Ультразвуковая дефектоскопия

Ультразвуковые волны представляют собой упругие колебания материальной среды, частота которых лежит за пределами слышимости в диапазоне от 20 кгц (волны низкой частоты) до 500 Мгц (волны высокой частоты).

Ультразвуковые волны способны проникать в материальные среды на большую глубину, преломляясь и отражаясь при попадании на границу двух материалов с различной звуковой проницаемостью. Именно эта способность ультразвуковых волн используется в ультразвуковой дефектоскопии сварных соединений.

Для выявления мелких дефектов в сварных швах следует пользоваться коротковолновыми ультразвуковыми колебаниями, так как волна, длина которой больше размера дефекта, может не выявить его.

Контроль сварных соединений осуществляется при помощи ультразвуковых дефектоскопов, которыми можно выявлять трещины, непровары, газовые и шлаковые включения в стыковых, угловых, тавровых и нахлесточных соединениях, выполненных дуговой, электрошлаковой, газовой и контактной сваркой.

Дефекты регистрируются записью на диаграммной ленте и краскоотметчиком на контролируемом шве, работа которого дублируется световой сигнализацией. Скорость контроля составляет 1 м/мин. Применение его значительно увеличивает надежность и производительность процесса контроля сварных швов.

1.5. Капиллярный метод

Капиллярный контроль основан на капиллярной активности жидкостей - их способности втягиваться, проникать в мельчайшие каналы (капилляры), имеющиеся на поверхности материалов, в том числе поры и трещины сварных швов. Чем выше смачиваемость жидкости и чем меньше радиус капилляра, тем больше глубина и скорость проникновения жидкости.

С помощью капиллярного контроля можно контролировать материалы любого вида и формы - ферромагнитные и неферромагнитные, цветные и черные металлы и их сплавы, керамику, пластмассы, стекло.

В основном, капиллярный метод применяют для обнаружения невидимых или слабовидимых невооруженным глазом поверхностных дефектов с открытой полостью. Однако с помощью некоторых материалов (керосина, например) можно с успехом обнаруживать и сквозные дефекты.

Изм.	Лист	№ докум.	Подпись	Дата

1.6. Магнитная дефектоскопия

Дефекты, обнаруживаемые магнитным дефектоскопом:

- дефекты геометрии без дополнительных дефектов и примыкания к сварным швам;
- дефекты геометрии, примыкающие к сварным швам или расположенные на сварных швах;
- дефекты геометрии в комбинации с потерей металла;
- потери металла точечные, сплошные;
- задиры, царапины, риски, (поперечно ориентированные);
- трещины по трубе или в сварном шве (поперечно ориентированные);
- расслоения с выходом на поверхность;
- дефекты поперечного шва;
- смещения поперечного шва.

Физическая сущность метода магнитной дефектоскопии основана на регистрации рассеяния магнитного потока.

Метод эффекта магнитного контроля основан на индикации взаимодействия объектом, магнитного поля c контролируемым изготовленным из ферромагнитного материала. Если в намагниченном металле встречаются области с дефектами-несплошностями, проницаемость которых отличается от магнитной проницаемости основного металла, то появляются магнитные поля рассеяния, выходящие наружу. Индикация этих полей позволяет получить информацию о дефектах.

В магнитных приборах, используемых при проведении внутритрубной дефектоскопии, индикация магнитных полей рассеяния осуществляется специальными магниточувствительными датчиками, установленными на упругих носителях и сканирующими внутреннюю поверхность. Показания датчиков преобразуются в электрические сигналы, регистрируемые запоминающей системой прибора.

Современные магнитные приборы высокого разрешения способны выявлять как дефекты потери металла, вызывающие уменьшение толщины стенки, так и дефекты в сварных швах, и определять, на какой поверхности находятся дефекты потери металла - наружной или внутренней.



Рис.1.4. Портативный магнитный дефектоскоп Parker DA-750

1.7. Электромагнитные методы

Характерной чертой электромагнитных методов (токовихревых и магнитных) является наличие полезадающей системы, магнитного поля дефекта и устройства его обнаружения. Для электромагнитных средств контроля металлических изделий используют широкий спектр частот, начиная от постоянного магнитного поля до переменных полей с частотами в несколько десятков мегагерц.

Методы электромагнитного контроля, которые основаны на изменении реакции вихревых токов, создаваемых на поверхности изделия, называют вихретоковыми. Такими методами можно контролировать только электропроводимые материалы.

Различные методы контроля ферромагнитных материалов, основанные на намагничивании исследуемого сварного шва, называются магнитными. По способу регистрации магнитных полей рассеяния, возникающих в зоне расположения дефектов, магнитные методы разделяют на магнитополупроводниковый, магнитоэлектрический магнитографический, магнитопорошковый, индукционный, феррозондовый, магнитоакустический.

Главным отличием всех магнитных методов от вихретоковых является обязательное намагничивание ферромагнитного изделия. При этом на поверхности сварного шва в зоне расположения дефекта возникает магнитное поле рассеяния. Если шов не насыщен, то магнитное поле рассеяния от дефекта увеличивает индукцию в металле, а на поверхности изделия дополнительное поле практически не возникает. При достаточно высоком намагничивании сварного шва магнитное поле рассеяния от дефекта обнаруживается на поверхности шва. Внутри дефекта магнитный поток распределен неравномерно. Это распределение зависит от геометрии дефекта, близости его расположения к поверхности и степени насыщения детали.

Выбор метода намагничивания определяется реальными возможностями применения его и требованиями к уровню выявляемости дефектов.

Магнитопорошковый метод широко используется при диагностике сварных швов эксплуатируемых трубопроводов, сосудов и аппаратов ввиду своей простоты, надежности и высокой чувствительности. Порошок можно наносить непосредственно на поверхности исследуемого изделия или насыпать на специальные линзы, которые перемещают над поверхностью намагниченного изделия.

Изм.	Лист	№ докум.	Подпись	Дата

Чувствительность магнитопорошкового быть метода может охарактеризована следующими размерами дефекта (мм); ширина раскрытия 0,001; глубина 0,01-0,05; протяженность 0,3.

Среди магнитных методов дефектоскопии широкое распространение получил магнитографический метод, благодаря низкой стоимости материалов, простоте применяемого оборудования, безопасности ДЛЯ обслуживающего персонала.

Магнитографический методом позволяет выявлять трещины, непровары, несплавления, а также газовые поры и раковины. С уменьшением глубины залегания дефектов чувствительность метода возрастает. Большое влияние на чувствительность оказывает состояние поверхности шва. Грубая чёшуйчатость, наплывы, брызги металла приводят к повышению уровня помех, которые могут быть ошибочно приняты за дефекты. Для повышения эффективности и достоверности контроля целесообразна предварительная подготовка стыков. Поверхность сварного соединения очищают от грязи, воды, металлических брызг, остатков шлака. [3,4,30].

Изм.	Лист	№ докум.	Подпись	Дата

1.8. Сравнение методов контроля

Сравним с экономической стороны радиографический, радиационный и автоматизировано – ультразвуковой метод контроля.

В последние годы применение автоматизированного ультразвукового контроля (АУЗК) для контроля сварных соединений намного возросло, но при этом он остается достаточно экзотическим видом контроля.

Еще недавно контроль сварных соединений был целиком областью радиографии. И только с появлением автоматических систем УЗК обоснованно стал эффективной альтернативой радиографии.

Система АУЗК обладает возможностью точного определения размеров и положения дефектов в сварном шве, при этом сохраняя основные преимущества УЗК над радиографическом контролем, а именно:

- лучшее выявление плоскостных дефектов (непроваров, трещин);
- высокая скорость контроля;
- безопасность для персонала.

Применение систем АУЗК сварных соединений и допустимость дефектов определяют по результатам автоматизированного контроля по соответствующим методикам.

Сравнительный анализ трудозатрат при проведении радиационного и ультразвукового контроля.

Ежедневная производительность труда сварочных бригад диктуется в большой степени временем, за которое сварное соединение может быть Традиционно, проконтролировано неразрушающим методом. сварные трубопроводов контролируются через соединения две стенки радиографическим методом. Обычно, чтобы проконтролировать кольцевое сварочное соединение трубы диаметром 720 мм, необходимо сделать 3 экспозиции. При ДЛЯ просвечивания, этом, проявления, сушки радиографической пленки и обработки результатов контроля требуется значительное время. Бригады сварщиков вынуждены ждать результатов контроля, что очень непроизводительно.

В тоже время, бригада из 3 человек, использующая автоматизированные системы контроля, в состоянии не отставать от механизированной сварочной бригады на магистрали, осуществляя контроль более, чем 130 сварных соединений в день. Это в 4 раза производительной, чем при использовании радиографии.

Изм.	Лист	№ докум.	Подпись	Дата

В таблице 1.3 сравнивается время контроля при рентгенографии и УЗК.

Таблица 1.3. Время-затраты на контроль сварного соединения трубы диаметром 720 мм с различной толщиной стенок.

	<u>'</u>				
Время контроля сварного	Толщина стенки, мм	14	15	18	22
соединения трубы	Начальная установка и	15	15	15	15
диаметром 720 мм при 4	подключение защитных				
вариантах толщины	барьеров				
стенок с применением	Снимок 1	6	6	18	28
гамма-дефектоскопа (100	Снимок 2	8	10	20	31
кюри), минут	Снимок 3	8	10	20	31
	Проявка, сушка и	40	40	40	40
	интерпретация				
	Общее время контроля	77	83	86	101
Время контроля сварного	Толщина стенки, мм	14	15	18	22
соединения трубы	Начальная установка и	20	20	20	20
диаметром 720 мм при 4	подключение защитных				
вариантах толщины	барьеров				
стенок с применением	Снимок 1	6	15	24	36
рентгеновского аппарата	Снимок 2	10	17	26	38
на 300 кВ, минут	Снимок 3	10	17	26	38
	Проявка, сушка и	40	40	40	40
	интерпретация				
	Общее время контроля	88	109	136	172
Время контроля сварного	Толщина стенки, мм	14	15	18	22
соединения трубы	Калибровка и прокладка		15	15	15
диаметром 720 мм при 4	Сканирование сварного		4	4	4
вариантах толщины	соединения и вывод данных				
стенок с применением	Общее время контроля	19	19	19	19
автоматизированного УЗК					

Как видно из таблицы 1.3., автоматизированный УЗК в 5-10 раз более продуктивен, чем рентген- или гамма-радиография. Если рассмотреть времязатраты на транспортировку и развертывание оборудования, то эффективность еще выше.

Небольшой размер и вес УЗ оборудования дают возможность погрузить их на борт полно приводного легкового автомобиля. При этом, одна УЗК бригада может обслуживать одну, три и даже четыре бригады сварщиков.

						Лист
					Методы контроля резервуаров	21
Изм.	Лист	№ докум.	Подпись	Дата		24

Основные преимущества и недостатки ультразвукового и радиографического контроля.

_	ского контроля.
Преимущества	Недостатки
 Гамма-радиография Гамма дефектоскоп в 2-3 раза дешевле дешевле, чем рентгенаппарат. Практически не зависим от внешних условий (температура, влажность и т.д.). 100% рабочий цикл. 	 Строгие требования к транспортировке и применению изотопов. Велика опасность облучения персонала, как в случае нормальной эксплуатации, а особенно в аварийной ситуации. Необходимость удаления персонала обольшой площади зоны контроля. Требует темной комнаты и времени на проявление пленки. Необходимы дорогостоящие расходные материалы.
 Рентгенография Качество контроля точнее, чем при гамма-радиографии. Заказчики хорошо знакомы с рентгенографией и готовы принять сварное соединение, основываясь на его рентгенограмме. 	 Рентгеновские трубки менее надежны, чем гамма-камеры. Намного медленнее, чем УЗК, особенно при большой толщине стенок. Присутствует возможность облучения персонала. Требует темной комнаты и время на проявление пленки. Необходимы дорогостоящие расходные материалы. Невозможна работа при температурах ниже -30 °C.
Автоматизированный УЗК	1
 Наиболее точный метод контроля для плоских дефектов, включая трещины. Самый быстрый метод контроля – один этап УЗК при необходимости может заменить многие этапы радиографического контроля. Быстрая интерпретация. Электронное хранение и поиск данных. Отсутствие расходных материалов. 	 Необходима зачистка околошовной зоны (только в случае эксплуатационного контроля). Каждая толщина стенки требует калибровки. Невозможна работа при температурах ниже -30 °C.
 Абсолютная безопасность для персонала. 	

Изм.

Лист

№ докум.

Подпись Дата

УЗК с помощью автоматизированных систем проводится в среднем в 4 раза быстрее, чем радиография. Это приводит к уменьшению в 4 раза количества требуемых для эквивалентного объема контроля установок (лабораторий) по сравнению с радиографией.

Данный вид контроля, как было показано выше, технологически и экономически обоснован, имеет всю необходимую нормативную базу, абсолютно безопасен для персонала.

Изм.	Лист	№ докум.	Подпись	Дата

2. Диагностика резервуаров

2.1. Общие сведения

Металлоконструкции вертикальных цилиндрических сварных стальных резервуаров нефти, ДЛЯ нефтепродуктов, воды И других жидкостей выполненные ПО международным И национальным стандартам изготавливаются:



Рис. 2.1 Общий вид резервуара

- со стационарными крышами;
- с плавающими крышами;
- с понтоном;

Металлоконструкции резервуаров с понтоном и плавающей крышей комплектуются уплотняющими затворами мягкого типа.

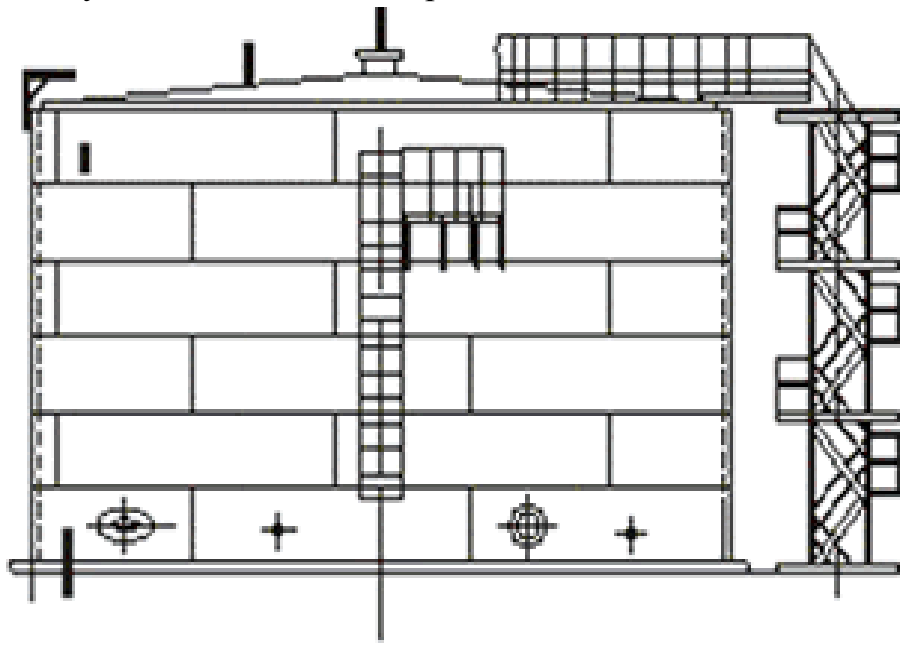


Рис. 2.2. Цилиндрический сварной стальной резервуар с конической крышей и шахтной лестницей

Изм.	Лист	№ докум.	Подпись	Дата	Контроль качества сварных соединений р типа РВС 1			ертикально	го стального
Разр	аб.	Клюев Г.В.				Ли	ım.	Лист	Листов
Руков	год.	Лунева Е.Е.			Диагностика резервуаров			27	99
Консу	льт.				дааспостана росороў арос				
3ав. К	(аф.	Рудаченко					TΓ	IУ гр. з	3-2T01

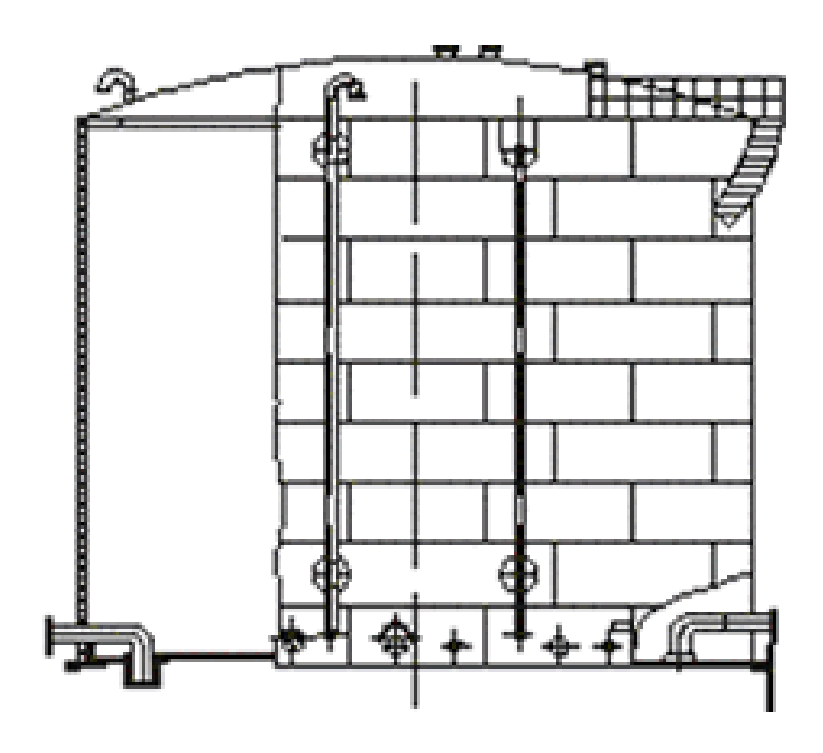


Рис. 2.3. Цилиндрический сварной стальной резервуар со сферической крышей и винтовой лестницей

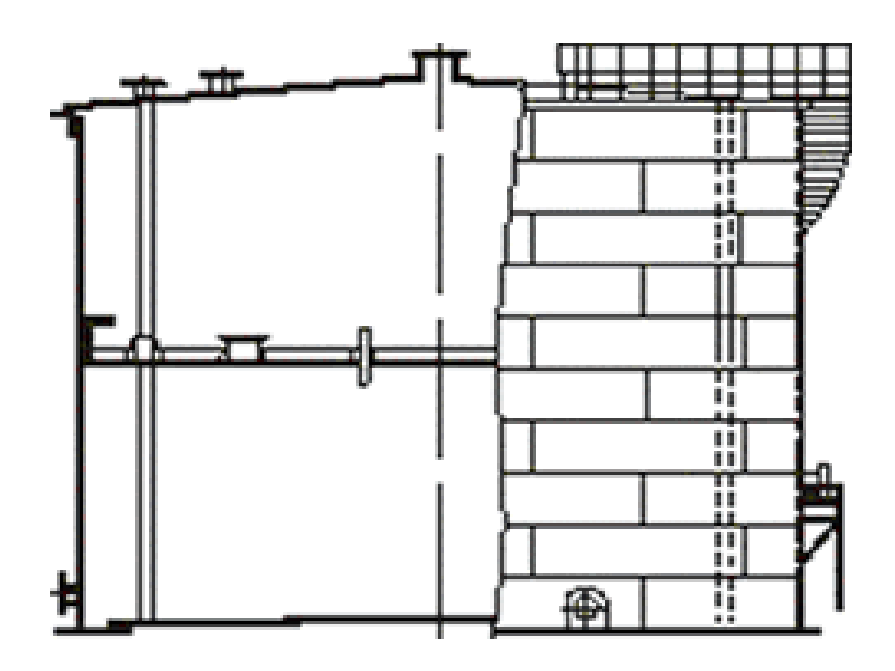


Рис. 2.4. Цилиндрический сварной стальной резервуар с конической крышей и кольцевой лестницей

						Лист
					Диагностика резервуаров	28
Изм.	Лист	№ докум.	Подпись	Дата		20

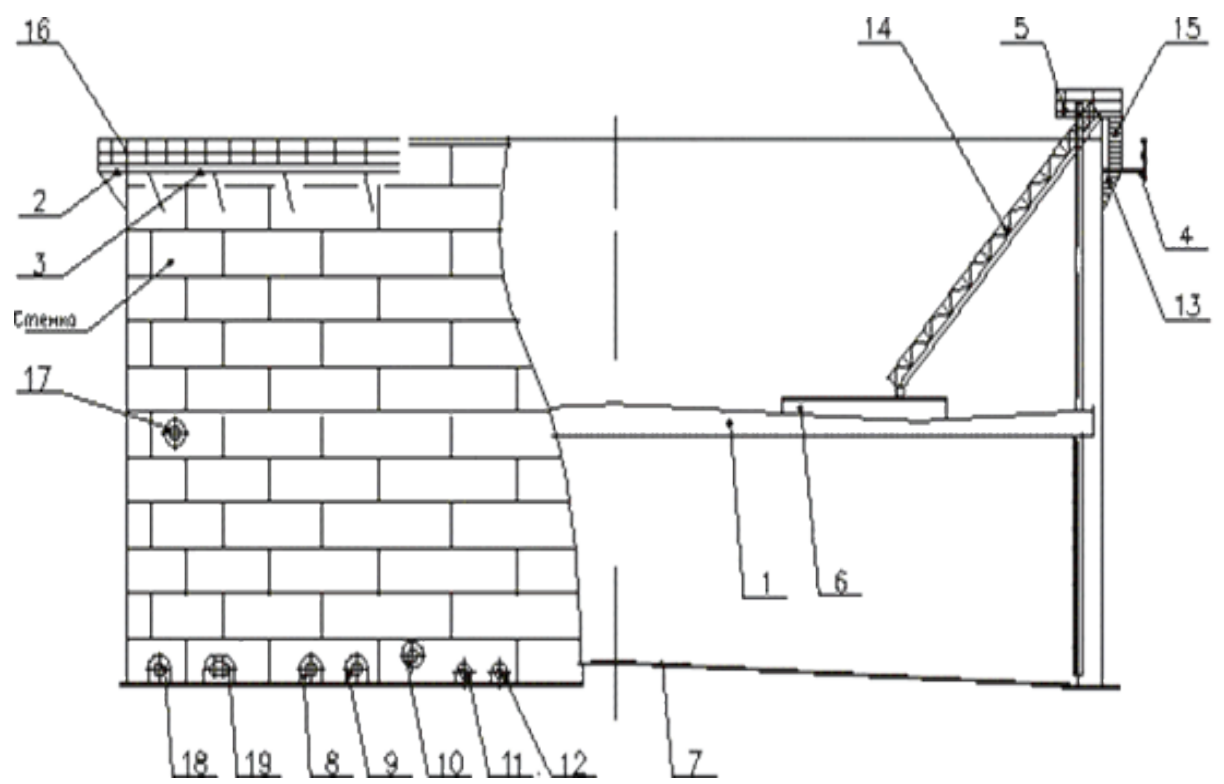


Рис. 2.5. Цилиндрический сварной стальной резервуар с плавающей крышей и кольцевой лестницей:

- 1. Крыша плавающая
- 2. Ветровое кольцо. Секция 1
- 3. Ветровое кольцо. Секция 2
- 4. Ветровое кольцо. Секция 3
- 5. Площадка. Переход на катучую лестницу
- 6. Путь катучей лестницы
- 7. Днище
- 8. Патрубок 700-10-16
- 9. Патрубок 700-10
- 10. Патрубок 250-16

- 11. Патрубок 150-16
- 12. Патрубок 6-150
- 13. Лестница кольцевая
- 14. Лестница катучая
- 15. Переход на катучую лестницу
- 16. Настил и ограждение ветрового кольца
- 17. Люк-лаз стенки Ду600 второго пояса
- 18. Люк мешалки Ду600
- 19. Люк-лаз овальный 600х900

	·		·	
Изм.	Лист	№ докум.	Подпись	Дата

Стальные вертикальные резервуары – РВС предназначены для хранения нефти, светлых и темных нефтепродуктов, химикатов или воды. Изготавливаются резервуары только по индивидуальным проектам для различных отраслей народного хозяйства. Технические решения, принятые на стадии проектирования соответствуют всем требованиям экологических, противопожарных и других норм, действующих на территории РФ.

Поставка, в зависимости от объема и конструктивного исполнения, происходит в одном или более рулонах, а так же в полистовом исполнении. Резервуары нефти, нефтепродуктов, воды, пожарные резервуары и т.д. комплектуются всеми типовыми конструктивными элементами, т.е. лестницами, площадками обслуживания, люками, патрубками и иным технологическим оборудованием

В зависимости от объема и места размещения резервуаров они подразделяются на три класса.

Класс I - особо опасные резервуары:

- объемом 10000 м³ и более;
- объемом 5000 м³ и более, расположенные по берегам рек или крупных водоемов, а так же в черте городской застройки.

Класс II – резервуары повышенной опасности:

• объемом от 5000 м³ до 10000 м³.

Класс III – опасные резервуары:

• объемом от 100 м³ до 5000 м³.

Класс опасности учитывается при проектировании спец. требованиями к материалам, объемами контроля в рабочей документации монтажного комплекта (КМ) и при расчете коэффициентом надежности по назначению [4,12].

Изм.	Лист	№ докум.	Подпись	Дата

2.2. Техническое обслуживание

Техническое обслуживание резервуарного парка заключается в периодическом осмотре, плановой организации и своевременном проведении регламентных работ по самим резервуарам, их оборудованию, приборам и системам, а также по трубопроводам обвязки резервуаров, системе пожаротушения резервуарного парка.

Техническое обслуживание проводится согласно инструкциям заводовизготовителей, отраслевым руководящим документам и инструкциям по эксплуатации резервуаров, оборудования, приборов, систем, разработанным с учетом конкретных условий предприятия или его филиалов.

Обход и осмотр резервуаров и резервуарного парка должен осуществляться, по графику и инструкциям, утвержденным главным инженером филиала предприятия, с записью в журнале осмотров и ремонта резервуаров и отметкой об устранении недостатков:

- ежедневно обслуживающим персоналом в соответствии с должностными инструкциями;
- еженедельно лицом, ответственным за эксплуатацию резервуарных парков;
- ежемесячно руководством станции, нефтебазы;
- ежеквартально, выборочно комиссией производственного контроля (КПК) структурного подразделения;
- один раз в год, выборочно комиссией производственного контроля (КПК) предприятия.

По результатам комиссионного осмотра резервуарного парка составляются акты с отражением в них выявленных недостатков.

Текущий ремонт проводится с целью поддержания техникоэксплуатационных характеристик, выполняется без освобождения резервуаров от нефти.

Текущий ремонт резервуарного парка в целом или отдельных его резервуаров осуществляется по мере необходимости по результатам осмотра резервуарных парков КПК всех уровней и ответственными лицами станций, наливных пунктов, нефтебаз, филиалов предприятий. [12]

2.3. Факторы повреждений и аварий резервуаров:

- резкие изменения температуры стенки резервуара при колебании уровня продукта (градиент температуры по высоте стенки;
- коррозия металла по различным механизмам, включая КРН (коррозионное растрескивание под напряжением);

						Лист
					Диагностика резервуаров	21
1зм.	Лист	№ докум.	Подпись	Дата		31

- усталостные изменения в основном металле и в сварных соединениях;
- наличие зон высоких напряжений после монтажных и сварочных работ, деформации опор, оснований и фундаментов;
- неудовлетворительное качество сварных соединений (в особенности монтажных) и металлопроката стенки;
- деформация опор, оснований и фундаментов;
- длительные сроки эксплуатации без капитального ремонта.

2.4. Основные виды повреждений и дефектов

Основные виды повреждений и дефектов:

- недопустимая коррозия металла стенки;
- старение металла;
- трещины различной природы (КРН, сварных соединений, усталостные, деформационные);
- расслоение основного металла;
- деформационное изменение геометрии;
- локальная потеря устойчивости металла стенки;
- течь днища. [24]

2.5. Перечень работ по оценке технического состояния резервуарных конструкций

В рабочем состоянии (без разгрузки от сохраняемого продукта):

- 1. Экологическая экспертиза окружающего пространства (воздух земля);
- 2. Экспертиза технического состояния конструкции:
 - 2.1. Техническая и эксплуатационная документация;
 - 2.2.Визуальный осмотр металлоконструкции;
 - 2.3.Инфракрасная термография для выявления развитых очагов повреждения металла;
 - 2.4. Магнитная и ультразвуковая дефектоскопия очагов повреждения металла (после визуального и термографического контроля);
 - 2.5. Ультразвуковая толщинометрия очагов коррозионного повреждения металла (после визуального и термографического контроля);
 - 2.6. Твердометрия (дюрометрический анализ поврежденного и неповрежденного металла);
 - 2.7. Контроль герметичности уторного узла и днища;
 - 2.8. Поверочный расчет на прочность и устойчивость;
 - 2.9. Определении объемов и сроков планового или экстренного ремонта.

Лист

32

Изм.	Лист	№ докум.	Подпись	Дата

В нерабочем состоянии (после всех процедур разгрузки от сохраняемого продукта, очистки и дегазации):

- уточнение критических очагов повреждения металла по данным экспертизы технического состояния в рабочем режиме и дополнительного внутри резервуарного визуального осмотра и отдельных видов инструментального неразрушающего контроля;
- отбор проб металла для оценки характеристик трещиностойкости и охрупчивания металла;
- дополнительный расчет остаточного ресурса по трещиностойкости, хрупкой прочности, цилиндрической долговечности (при необходимости).

2.6. Виды контроля сварных соединений резервуарных конструкций

Таблица 2.1. Виды контроля сварных соединений резервуарных конструкций

_	Способ контроля качества
Все сварные соединения резервуарных конструкций	Визуальный и измерительный (ВИК)
Вертикальные сварные соединения стенки 1-го 2-го поясов	Ультразвуковой (УК)
Вертикальные стыковые	Радиографический (РК)
соединения стенки остальных поясов	Ультразвуковой (УК)
Горизонтальные стыковые соединения стенки	Ультразвуковой (УК)
Стыки окраек днища: 250мм от наружного края; Остальная часть окрайки	Радиографический (РК) Ультразвуковой (УК)
	Визуально-инструментальный контроль шва и плавности сопряжения шва (ВИК)
Уторный шов сопряжения стенки с днищем	Капиллярный (ПВК)
	Вертикальные сварные соединения стенки 1-го 2-го поясов Вертикальные стыковые соединения стенки остальных поясов Горизонтальные стыковые соединения стенки Стыки окраек днища: 250мм от наружного края; Остальная часть окрайки Уторный шов сопряжения

Лист

№ докум.

Подпись

Диагностика резервуаров

Окончание таблицы 2.1.

		Контроль избыточным давлением, шов внутри и снаружи стенки (ПВТ) Контроль избыточным давлением			
7.	Врезка люков и патрубков в стенку	(ПВТ). Капиллярный контроль сопряжения воротника со стенкой на первом поясе(ПВК) Ультразвуковой (УК)			
8.	Сварные соединения окрайков и все швы центральной части днища	Вакуумирование (ПВТ)			
9.	Радиальные стыки сегментов опорного или ветрового кольца крыши	Ультразвуковой (УК)			
10	Зоны приварки монтажных приспособлений к стенке	Капиллярный контроль (ПВК)			
11	Места приварки кронштейнов трубопроводов, лестниц, ветровых колец	Визуальный и измерительный (ВИК)			
12	Короба и отсеки понтонов и плавающих крыш	Избыточным давлением (ПВТ)			
13	Люки и патрубки стационарных и плавающих крыш	Вакуумирование или избыточным давлением (ПВТ)			
14	Сварные стыки трубопроводов систем пожаротушения, орошения, водоотвода с плавающих крыш.	Ультразвуковой контроль – для трубопроводов СППК (УК), остальное - гидроиспытания			

Изм.	Лист	№ докум.	Подпись	Дата

2.7. Сварные соединения резервуаров

Таблица 2.2.

Сварные соединения резервуаров

нст	груктивный элемен	г Вид сварного	Вид
epi	вуара	соединения	сварного
			шва
нтр	ральная часть днища	Стыковое (на	Стыковой
		подкладке)	
		Нахлесточное	Угловой
ЛЫ	цевые окрайки	Стыковое (на	Стыковой
		подкладке)	
пря	яжение центральной част	и Нахлесточное	Угловой
ИЩ	а с кольцом окраек		
пря	яжение стенки с днищем	и Тавровое	Угловой
opi	ный узел)		
ЭНК	ка резервуар	а Стыковое (на	Стыковой
(вертикальное соединение)		подкладке)	
		Стыковое (на съемной	Стыковой
		керамической	
		подкладке)	
ЭНК	ка резервуар	а Стыковое	Стыковой
риз	зонтальное соединение)		
рях	жение патрубков о стенкой	, Угловое	Угловой
тре	ебующие усиления		
пря	яжение патрубков (люков	- Угловое	Угловой
ОВ) со стенкой, требующи	Нахлесточное	Угловой
іле	ения		
opi	ные и ветровые кольц	а Стыковое	Стыковой
стк	кости (радиальные швы)		
пря	яжение опорного кольц	а Нахлесточное	Угловой
ЛЫ	ца жесткости) со стенкой	Тавровое	Угловой
poc	ба понтонов и плавающи	к Тавровое	Угловой
чΠ			
мб	раны стальных понтонов	и Нахлесточное	Угловой
ава	ющих крыш		
VΠE		а Стыковое (на	Стыковой
	1		CIDINODON
	ечная плавающая крыш няя дека)	а Стыковое (на подкладке)	(

Изм.	Лист	№ докум.	Подпись	Дата

Окончание таблицы 2.2.

19.	Сопряжение коробов понтонов и	Нахлесточное	Угловой
20.	плавающих крыш с мембраной	Тавровое	Угловой
21.	Каркас стационарных крыш	Нахлесточное	Угловой
22.	Сопряжение каркаса со стенкой	Тавровое	Угловой
	и опорным кольцом		
23.	Настил стационарных крыш	Нахлесточное	Угловой
24.	Сопряжение патрубков с	Угловое	Угловой
25.	настилом крыш	Нахлесточное	Угловой
26.	Сопряжение люков-лазов с	Тавровое	Угловой
	плавающей крышей		
27.	Соединения кронштейнов для	Нахлесточное	Угловой
28.	крепление трубопроводов		Угловой
	системы пожаротушения,		
	площадок и колец жесткости на		
	стенке		

Изм.	Лист	№ докум.	Подпись	Дата

Диагностика РВС

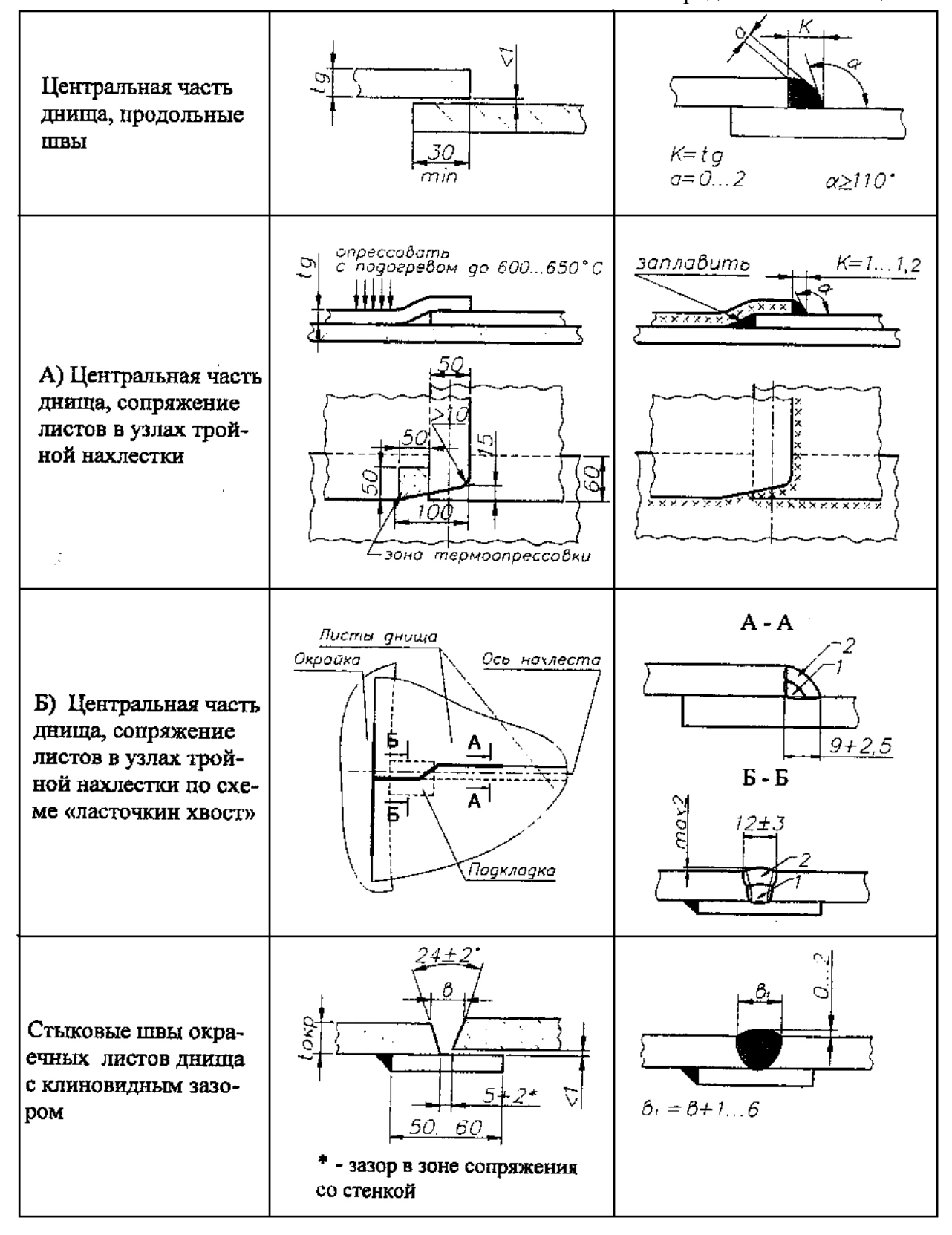
Период	Методы контроля	Осмотры
Ввод в эксплуатацию	Визуальный и измерительный, Ультразвуковой, Радиографический, Капиллярный, Вакуумирование, Избыточным давлением Визуальный и измерительный, Ультразвуковой, Радиографический,	
Dua	Капиллярный, Вакуумирование, Избыточным давлением	- ежедневно обслуживающим
Эксплуатация	В рабочем состоянии: Визуальный осмотр, Инфракрасная термография, Магнитная и ультразвуковая дефектоскопия, Ультразвуковая толщинометрия, В нерабочем состоянии: уточнение критических очагов повреждения металла по данным экспертизы технического состояния в рабочем режиме и дополнительного внутрирезервуарного визуального осмотра и отдельных видов инструментального неразрушающего контроля; отбор проб металла для оценки характеристик трещиностойкости и охрупчивания металла	персоналом в соответствии с должностными инструкциями; еженедельно - лицом, ответственным за эксплуатацию резервуарных парков; ежемесячно - руководством станции, нефтебазы; ежеквартально, выборочно - комиссией производственного контроля (КПК) структурного подразделения; один раз в год, выборочно - комиссией производственного контроля (КПК) предприятия.
Вывод из эксплуатации	Визуальный и измерительный, Ультразвуковой, Радиографический	
Ремонт	Визуальный и измерительный, Ультразвуковой, Радиографический	

Изм.	Лист	№ докум.	Подпись	Дата

2.8. Требования к конструкции сварных соединений, подготовке кромок, форме и размерам сварных швов конструктивных элементов резервуаров

Таблица 2.4. Конструкции сварных соединений элементов резервуаров

Конструктивный элемент резервуара	Требования к конструкции и подготовке кромок соединений	Требования к форме и размерам шва
Центральная часть днища, поперечные швы листов, собранных встык	24±2° 8 5+2	$\beta_{i} = \beta + 1 \dots 6$ $\alpha = 0 \dots 2$
Центральная часть днища, поперечные швы листов, собранных внахлестку	50 min	K=tg α=02 α≥110°



						Лис
					Диагностика резервуаров	20
Изм.	Лист	№ докум.	Подпись	Дата		38

		продолжение таолицы 2.4
Швы сопряжения цен- гральной части днища с кольцом охраек	50 min	α κ ο ο ο ο ο ο ο ο ο ο ο ο ο ο ο ο ο ο
Сопряжение стенки с днищем при толщине окраечных листов до 12 мм вишочительно	tokp 35	$K=tokp \le 12$ $Ch=02$ $Ch=02$
Сопряжение стенки с двищем при толицине окраечных листов более 12 мм	2 1/3t V	K≤12 GH=02 G6H=02
Вергикальные свар- ные швы стенки при толицине листов до 10 мм включительно	45°	58 $\beta_1 = 6 + 16$
Вергикальные свар- кые швы стенки при голщине листов более 10 мм	45.	$\delta_1 = 8 + 1 \dots 6$
Вергикальные свар- ные швы стенки при сварке с принуди- тельным формирова- нием шва для толицин более 10 мм	312	B1 = 8+26

Изм.	Лист	№ докум.	Подпись	Дата

	-	продолжение таолицы 2.4.
Вертикальные свар- ные швы стенки при использовании кера- мических подкладок	45.	B ₁ = 8+16
Вертикальные свар- ные швы стенки при использовании кера- мических стержней	2.4	8i = 8 + 16
Горизонтальные швы стенки при разности толщин поясов: $\Delta \leq 2$ мм для $t_B = 4-20$ мм; $\Delta \leq 3$ мм для $t_B = 21-30$ мм; $\Delta \leq 4$ мм для $t_B > 30$ мм	R 0.2 7	$B_1 = B + 16$ R $O2$ $O2$
Горизонтальные швы стенки при разности толщин поясов Δ более значений, указанных в п.14.	$\frac{4(1H-16)^{+10}}{4(5)}$ $\frac{45}{15}$ $\frac{45}{15}$ $\frac{45}{15}$ $\frac{15}{15}$ $\frac{1}{15}$	81=8+16 R 02
Горизонтальные швы стенки при толщине листов до 10 мм	2 2 2 5.	8=8+16
Сопряжения патруб- ков со стенкой, не требующие усиления	00.2	K=tn≥4

L							Лист
						Диагностика резервуаров	11
	Изм.	Лист	№ докум.	Подпись	Дата		41

		продолжение таолицы 2. т.
Сопряжения патруб- ков со стенкой, тре- бующие усиления	tom Re 30°	К= 414 плавный переход
Сопряжения люков- лазов со стенкой	tyc rom RR 30.	R=414
Швы усиливающих дистов люков и патрубков при толщине листов до 10 мм	ive	gля tyc go 10мм K=tyc
Ивы усиливающих листов люков и патрубков при толицине листов от 11 мм до 16 мм	S. S	для tyc om 11 go 16мм K <tyc скруглить R2мм</tyc
Швы усиливающих листов люков и нат- рубков при толщине листов более 16 мм	0,5tyc	9ля tyc > 16мм
Сопряжение усили- вающего писта с ок- райкой днища	tcm tyc R зашлифовать	tyc R K=0.5t,

Изм.	Лист	№ докум.	Подпись	Дата

Радиальные пвы ветровых и опорных колец жесткости при толщине металла более 12 мм	2±1 1 2±1	81 = 8+16 58
Радиальные цвы ветровых и опорных колец жесткости при толщине метапла до 12 мм включительно	2+1	$B_1 = B + 1 \dots 6$
Сопряжения ветровых колец и колец жестко- сти со стенкой	S S S S S S S S S S S S S S S S S S S	$K=lp+\Delta$
Сварные швы в со- пряжении опорного кольца со стенкой	toп. кольца <1	tcm K=ton кольия
Сварные швы в сопряжении опорного кольца со стенкой (вариант для резервуаров емкостью 5000 м ³)	t _K	<u>tk</u> <u>tcm</u>

Изм.	Лист	№ докум.	Подпись	Дата

Сварные швы в со- пряжении каркаса крыши и опорного кольца со стенкой	Спорное кольцо	Размер L — по проекту КМ
Сварные швы коробов понтонов и плаваю- щих крыш		K=t
Сварные швы мем- бран понтонов и пла- вающих крыш	30	K= t
Сварные швы в со- пряжении коробов понтонов и плаваю- щих крыш с мембра- ной	30 min	K=tw K=tw
Сварные швы дву- дечной плавающей крыши (верхняя дека)	2_4	$\delta_i = \delta + 16$

И	Ізм.	Лист	№ докум.	Подпись	Дата

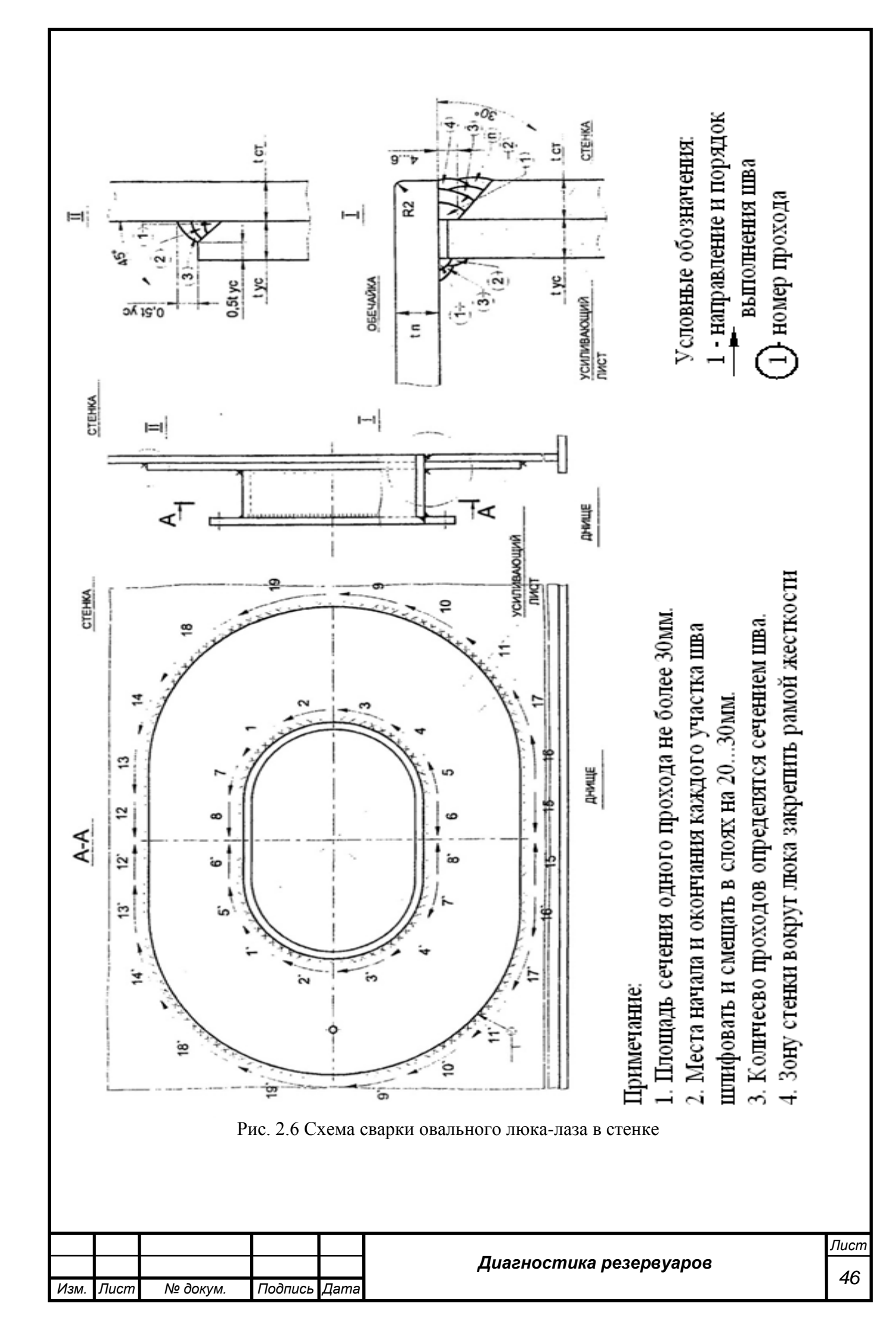
Окончание таблицы 2.4.

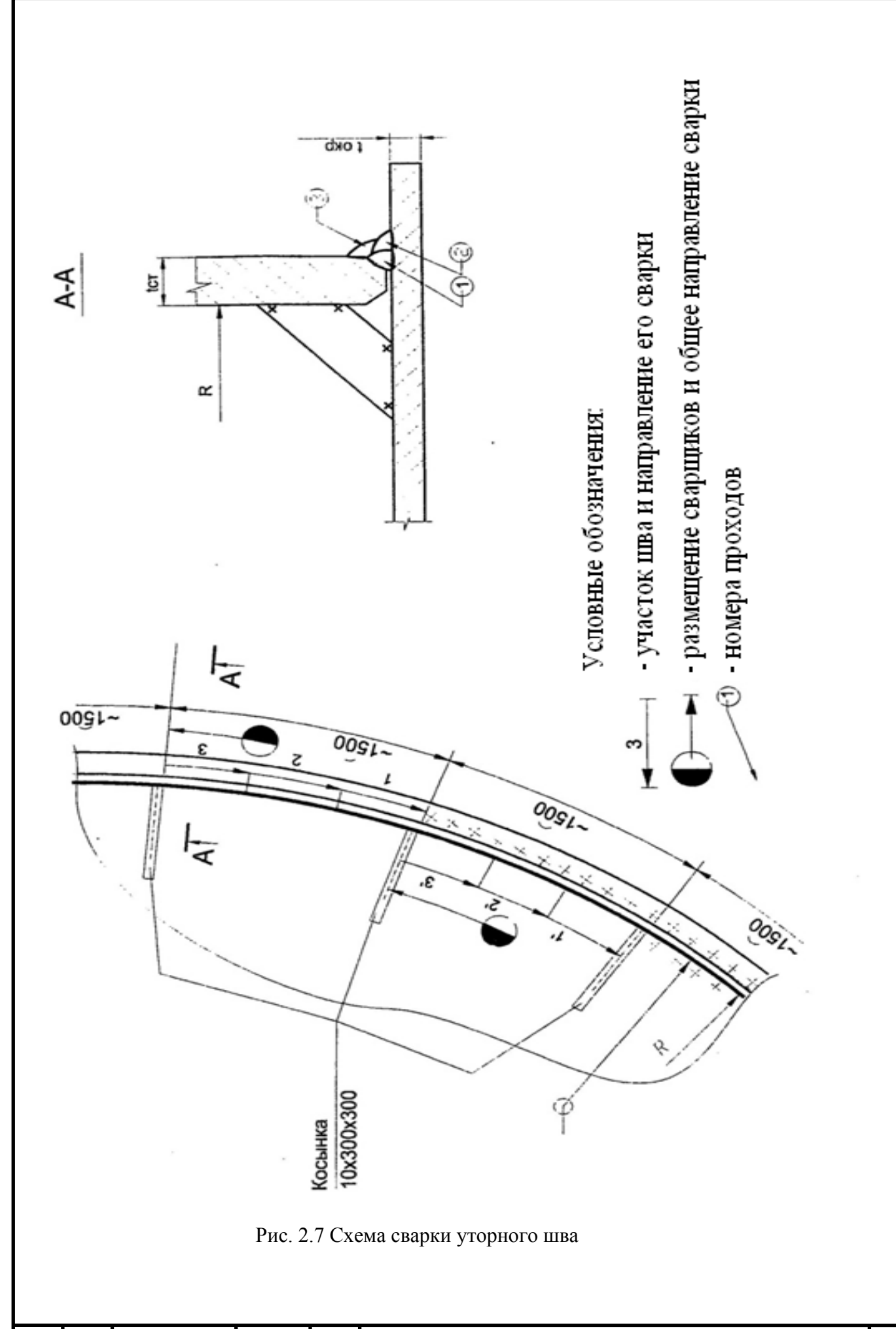
34	Сварные швы насти- ла стационарных крыш	30 min	11,21#
35	Сварные швы в со- пряжении патрубков с настилом крыши	<u>03</u>	K=tyc tn
36	Сварные швы врезок патрубков (люков- лазов) в плавающую крышу	t nampyбка	K=tg
37	Сварные швы крон- штейнов на стенке	t c m	K=tn-6 K=tk-9

Примечания –

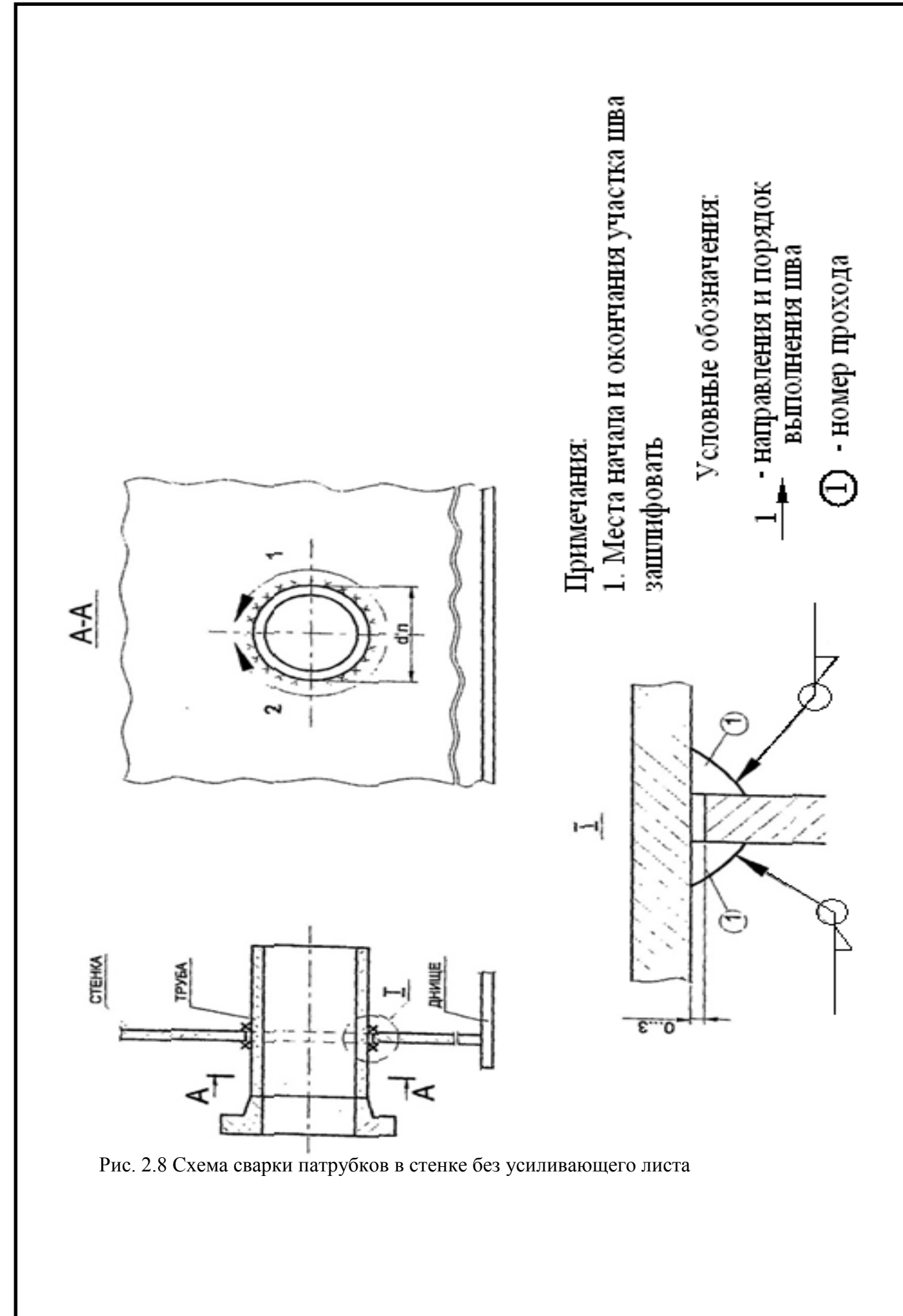
- 1. Допускаемые отклонения угловых размеров разделок кромок = \pm 2 град
- 2. Допуск на размер катета шва +2; 1.

Изм.	Лист	№ докум.	Подпись	Дата





 Изм.
 Лист
 № докум.
 Подпись
 Дата



						Лист
					Диагностика резервуаров	48
Изм.	Лист	№ докум.	Подпись	Дата		40

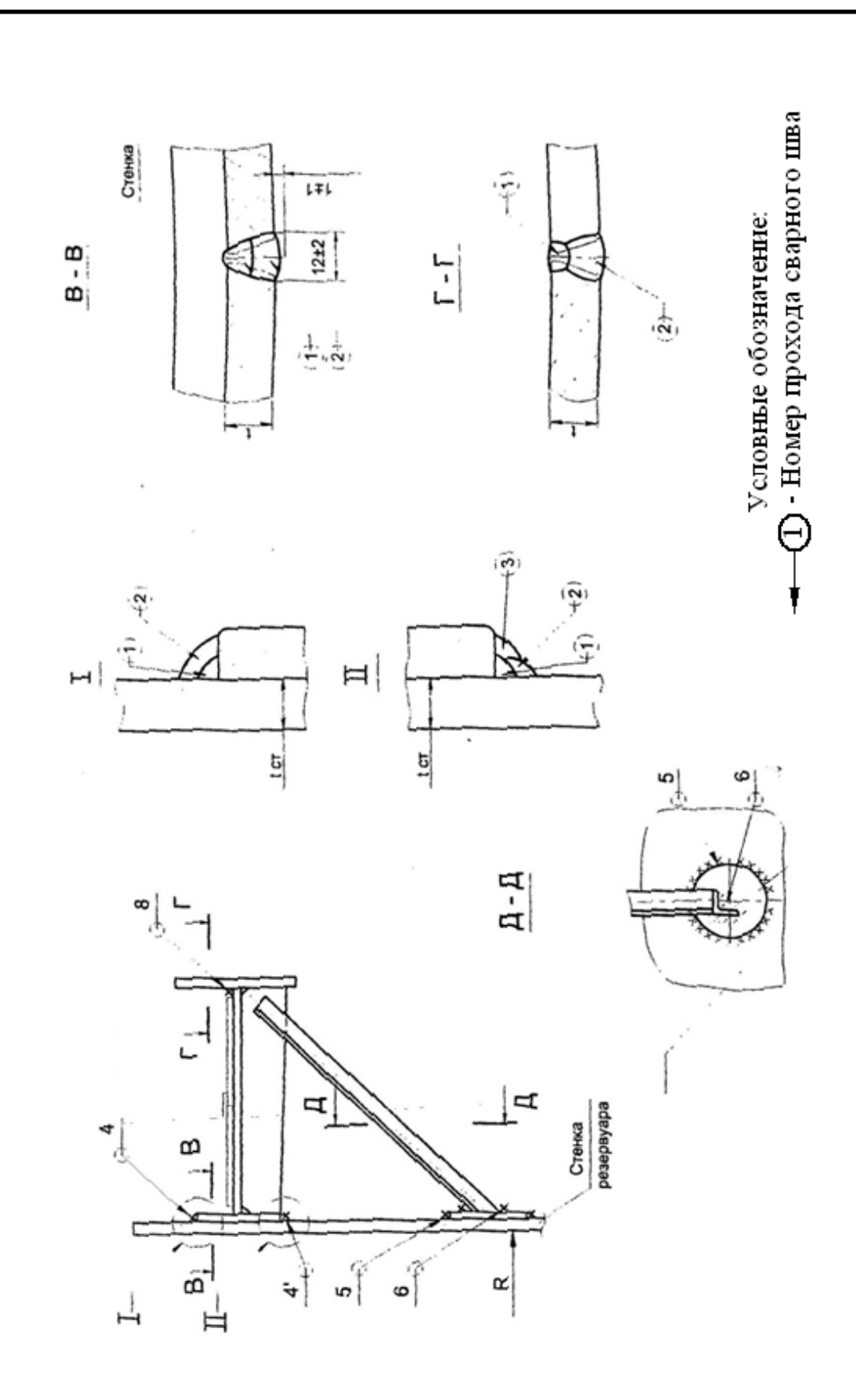


Рис. 2.9 Последовательность и схема сварки швов ветрового кольца

						Лист
					Диагностика резервуаров	49
Изм.	Лист	№ докум.	Подпись	Дата		49

3. Сварка

К электроду и свариваемому изделию для образования и поддержания сварочной дуги от источников сварочного тока подводится постоянный или переменный сварочный ток. Сварочная дуга (1) горит между металлическим стержнем электрода (2) и основным металлом (3) Под действием тепла дуги дуги электрода, покрытие электрода И основной металл металл расплавляется, образуя сварочную ванну (4). Капли жидкого металла (5) с торца расплавленного электродного стержня переносятся в ванну через дуговой промежуток. Вместе со стержнем плавится покрытие электрода (6), образуя вокруг дуги газовою защиту (7) и жидкую шлаковую ванну (8). По мере движения дуги, металл сварочной ванны затвердевает, образуется сварочный шов(9) и шлаковую корка(10) на поверхности шва. [27]

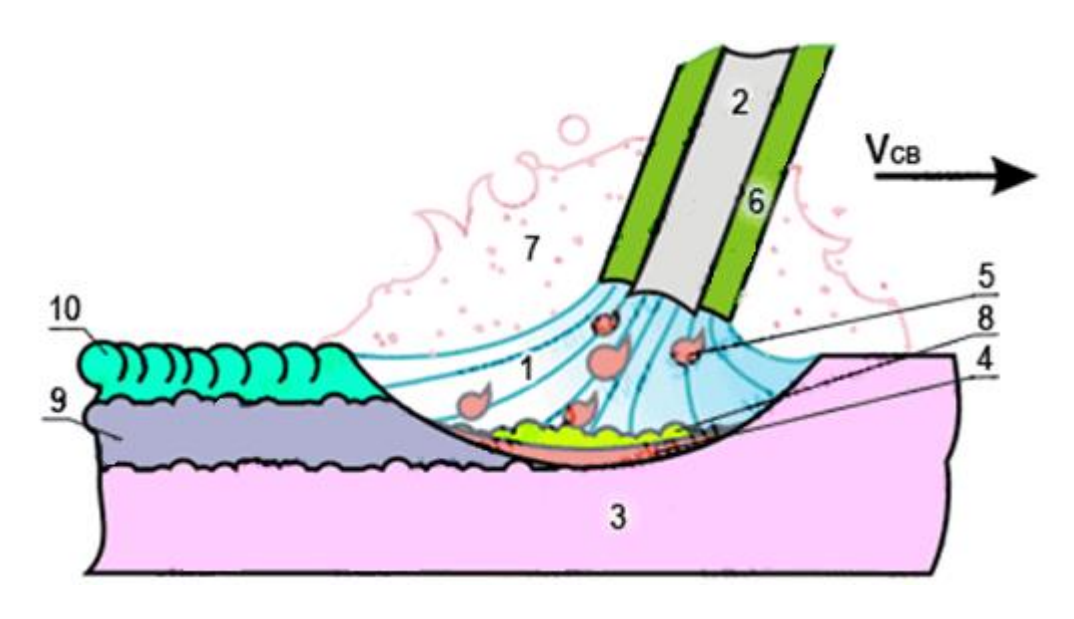


Рис. 3.1. Общий вид сварки

Изм	Лист	№ докум.	Подпись	Пата	Контроль качества сварных соединений р типа РВС 1		іра в	ертикально	го стального
Разр.		Клюев Г.В.	Поопась	дата		Лun	1 .	Лист	Листов
Руков		Лунева Е.Е.			_			50	99
Консу	льт.				Сварка				
Зав. к	(аф.	Рудаченко				<i>ΤΠ</i> .	y 7	ГХНГ г	р. з -2 Т01

3.1. Ручная дуговая сварка

Глубина, на которую расплавляется основной металл, называется глубиной проплавления. Глубина проплавления зависит от: режима сварки (силы сварочного тока и диаметра электрода), пространственного положения сварки, скорости перемещения дуги по поверхности изделия, от конструкции сварного соединения, формы и размеров разделки свариваемых кромок и т. п.

Размеры сварочной ванны зависят от режима сварки и обычно находятся в пределах: глубина до 7 мм, ширина 8-15 мм, длина 10-30 мм. Доля участия основного металла в формировании металла шва обычно составляет 15-35%.

Расстояние от активного пятна на расплавленной поверхности электрода до другого активного пятна дуги на поверхности сварочной ванны называется длиной дуги. Покрытие электрода при расплавлении образует вокруг дуги и над поверхностью сварочной ванны газовую атмосферу, которая, оттесняя воздух из зоны сварки, препятствует взаимодействию его с расплавленным металлом. Шлак, покрывая капли электродного металла и поверхность расплавленного металла сварочной ванны, тем самым воспрепятствует контакту с воздухом.

Кристаллизация металла сварочной ванны по мере удаления дуги приводит к образованию шва, соединяющего свариваемые детали. При случайных обрывах дуги или при смене электродов кристаллизация металла сварочной ванны приводит к образованию сварочного кратера (углублению в шве, по форме напоминающему наружную поверхность сварочной ванны). Затвердевающий шлак образует на поверхности шва шлаковую корку. [26,27]

3.2. Автоматическая дуговая сварка

Автоматизации хорошо поддаются все основные виды дуговой сварки. По степени механизации процесса различают автоматы и полуавтоматы.

Для осуществления автоматической сварки требуется целый комплекс машин, механизмов и приспособлений, составляющих автоматическую установку для дуговой сварки. Устройство, производящее зажигание дуги, подачу электродов по мере сгорания и обеспечивающее устойчивое горение дуги, называется автоматической головкой для дуговой сварки, или дуговым автоматом. Наиболее важное промышленное значение имеют автоматы для сварки плавким металлическим электродом. Вместо отдельных коротких электродов, применяемых в процессе ручной сварки, при автоматической сварке используется электродная проволока большой длины, в мотках или

						Лист
					Сварка	51
Изм.	Лист	№ докум.	Подпись	Дата		31

бухтах, сматываемая механизмом автомата и подаваемая в зону дуги по мере ее плавления.

При случайном увеличении длины дуги скорость подачи проволоки возрастает и длина дуги, а вместе с тем и ее напряжение уменьшаются до нормальной заданной величины.

Таким образом, длина дуги поддерживается автоматически постоянной с точностью, недоступной для ручной сварки. Современные автоматы поддерживают напряжение дуги с точностью до $0.5\,$ B, что соответствует точности поддержания длины дуги $\pm 0.2-0.3\,$ мм.

В настоящее время существует два основных вида дуговых автоматов с плавящимся электродом, различных по принципу регулирования:

- автоматы с регулированием электрических величин;
- автоматы с постоянной скоростью подачи электрода.

В автоматах первого типа регулируемой является какая-либо электрическая величина сварочной дуги, это может быть напряжение, ток или мощность дуги. В современных автоматах за регулируемую величину принимают обычно напряжение дуги.

При наличии автомата, поддерживающего постоянство напряжения дуги, длина дуги останется постоянной и процесс сварки сохранит нормальный характер. Таким образом, регулирование постоянства напряжения дуги эквивалентно регулированию постоянства ее длины. [26,27]

						Лист
					Сварка	52
Изм.	Лист	№ докум.	Подпись	Дата		52

3.3. Дефекты сварных швов

Различают внешние и внутренние дефекты сварных швов.

Внешние дефекты сварных швов. К внешним дефектам сварных швов относятся следующие: перекос (а) и смещение кромок (б), неравномерное сечение шва по ширине и толщине (в), подрезы кромок основного металла (г, д, е), прожоги (ж), непровары (з, и, к, л), незаверенные углубления швов, наружные трещины в шве, основном металле (м, н, о, п) и др.

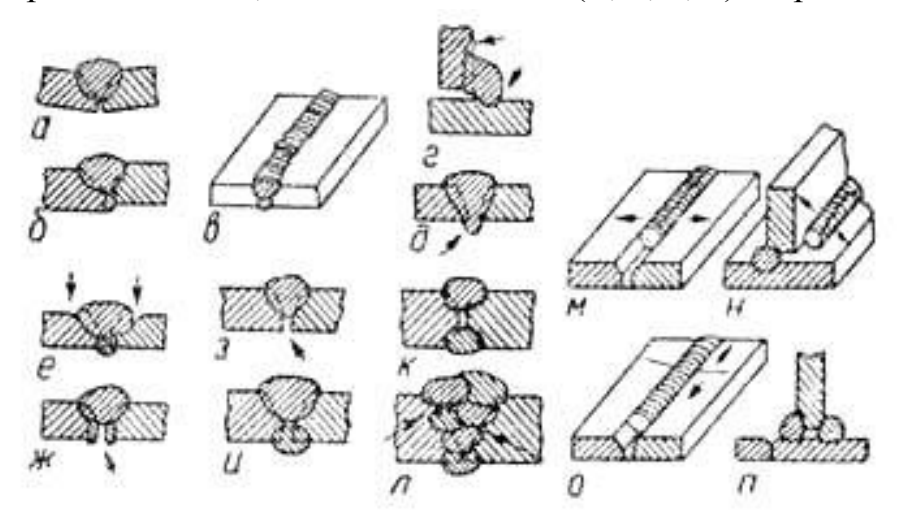


Рис 3.4 Дефекты сварных швов

Неравномерное сечение шва по ширине и толщине может быть следствием плохой сборки, небрежной или неумелой работы сварщика. Этот дефект придает шву плохой внешний вид и снижает его прочность. Швы с недостаточным усилением подвергаются дополнительной наплавке.

Наружные трещины могут возникать как в наплавленном, так и в основном металле. Трещины могут быть продольные и поперечные. Причинами появления трещин являются собственные напряжения, которые возникают в металле из-за неравномерного его нагрева и охлаждения, изменения структуры металла под влиянием нагрева при сварке. Трещины легче возникают в местах ослабления металла какими-либо дефектами, поэтому они часто имеют начало у картеров, подрезов и непроваров. Наиболее возможно появление трещин при сварке легированных сталей, чувствительных к закалке. Трещины являются недопустимым дефектом шва. Участки с трещинами должны вырубаться и завариваться вновь.

Подрезами называются выемки в основном металле вдоль края шва, выплавляемого в процессе сварки. Они ослабляют сечение основного металла. Причинами возникновения этого дефекта являются сварка горелкой слишком большой мощности или неудобное пространственное положение шва. Подрезы должны устраняться последующей подваркой.

						Лист
					Сварка	52
Изм.	Лист	№ докум.	Подпись	Дата		55

Незаплавленные углубления — кратеры (неровная поверхность шва) являются следствием недостаточной квалификации сварщика. Швы с большим количеством этих дефектов обладают пониженной прочностью. Их нужно вырубать и производить заварку вновь.

Непроваром вершины шва называется несплавление наплавленного металла с основным в вершине шва. Причины непровара вершины шва следующие: недостаточная мощность горелки, большая скорость сварки, недостаточный угол скоса кромок, не позволяющий хорошо нагреть пламенем горелки вершину шва, плохая зачистка кромок под сварку. В месте непровара прочность шва резко снижается. Кроме того, в местах непровара возникают напряжения, которые еще больше снижают прочность шва. Непровар должен удаляться вырубкой дефектного места и заваркой его вновь.

Наплывы образуются при слишком быстром плавлении проволоки и натекании жидкого металла на недостаточно нагретую поверхность основного металла около кромок шва. Под наплывами часто обнаруживаются непровары. Поэтому имеющиеся наплывы необходимо срубить и в случае обнаружения непровара устранить его.

Горячие и холодные трещины при сварке металлов и причины их образования

Дефекты при сварке металлов плавлением образуются вследствие нарушения требований нормативных документов к сварочным материалам, подготовке, сборке и сварке соединяемых элементов, термической и механической обработке сварных соединений и конструкции в целом.

Согласно ГОСТ 30242-97 дефекты классифицируются на шесть групп: трещины, полости и поры, твердые включения, несплавления и непровары, нарушение формы шва, прочие дефекты (дефекты, не включенные в вышеперечисленные группы).

Трещина - это несплошность, вызванная местным разрывом шва, которая может возникнуть в результате охлаждения или действия нагрузок.

Микротрещина - это трещина, имеющая микроскопические размеры, которую обнаруживают физическими методами не менее чем при 50-кратном увеличении. В зависимости от температуры, при которой образуются трещины, их условно подразделяют на горячие и холодные. Горячие трещины в сталях возникают при температуре, превышающей 1000°C, а холодные - при более низкой. Трещины являются самым серьезным дефектом сварного соединения и ,как правило, не подлежащим устранению.

<u>Горячие трещины</u> - это хрупкие межкристаллические разрушения металла шва и околошовной зоны, возникающие в твердожидком состоянии

						Лист
					Сварка	54
Изм.	Лист	№ докум.	Подпись	Дата		54

в процессе кристаллизации, а также при высоких температурах в твердом состоянии.

Причинами образования горячих трещин при сварке являются:

- большое количество вредных примесей (особенно серы и фосфора) в металле свариваемых заготовок;
- наличие в металле шва элементов, образующих химические соединения с низкой температурой затвердевания (хром, молибден, ванадий, вольфрам, титан), нарушающие связь между зернами;
- жесткое закрепление свариваемых заготовок или повышенная жесткость сварного узла, затрудняющая перемещение заготовок при остывании.

Холодные трещины - это локальные меж- или транскристаллические разрушения сварных соединений, образующиеся в металле при остывании до относительно невысоких температур (как правило, ниже 200 °C) или при вылеживании готового изделия. Чаще всего холодные трещины возникают в переходной зоне вследствие неправильной техники сварки или неправильно выбранного присадочного материала.

Для предупреждения образования холодных трещин применяют:

- прокаливание флюсов и электродов перед сваркой;
- предварительный подогрев свариваемых заготовок до 250-450 °C;
- ведение процесса сварки в режиме с оптимальными параметрами;
- наложение швов в правильной последовательности;
- медленное охлаждение изделия после сварки;
- проведение непосредственно после сварки смягчающего отжига для снятия остаточных напряжений.

Для предупреждения образования трещин в швах сварных соединений необходимо:

- разрабатывать металлоконструкции и технологию сварки, которые позволяют исключить применение соединений с высокой жесткостью;
- при сварке изделий достаточно большой толщины увеличивать размеры сварных швов;
- не допускать при сварке узких валиков, производить сварку полноразмерным швом короткими участками по 200-250 мм;
- выбирать последовательность выполнения сварных швов такой, чтобы максимально долго оставлять незаваренными концевые участки соединения, с тем чтобы они обладали максимально возможной подвижностью;
- обеспечить сплошность и хорошее сплавление сварных швов;

						Лист
					Сварка	55
Изм.	Лист	№ докум.	Подпись	Дата		55

- в некоторых случаях обеспечить предварительный подогрев свариваемых частей;
- сборку соединений производить с одинаковым и требуемым по технологии зазором, при необходимости для выравнивания зазора применять стягивающие сборочные приспособления;
- не допускать при сварке завышенных по сварочному току режимов сварки;
- по возможности сварной шов делать многопроходным, так как однопроходные швы могут быть более хрупкими, а в многопроходных швах происходит отжиг каждого предыдущего слоя;
- разделку заполнять сразу после завершения сварки корня шва, так как воздействию напряжения чаще всего подвергается область корневого шва.

Продольные, поперечные и др.виды трещин при сварке металлов

Продольная трещина - это трещина, ориентированная параллельно оси сварного шва. Продольные трещины могут возникать в металле сварного шва, на границе сплавления, в зоне термического влияния и в основном металле. Продольные трещины возникают как из-за наличия высокотемпературной хрупкости сплавов (горячие трещины), так и при замедленном разрушении металла (холодная трещина).

<u>Скрытые трещины</u> — это продольные трещины в основном металле, смежном со сварным швом, возникающие из-за высокого напряжения, вызванного сжатием в сварном шве.

Большие сварочные напряжения, вызывающие скрытые трещины, в большей или меньшей степени присущи всем сварным соединениям, особенно сварным швам больших толщин. Основные причины, вызывающие недопустимые сварочные напряжения, - это слишком жесткое соединение и несоблюдение или неправильный выбор технологии сварки. С уменьшением сварочных напряжений уменьшается вероятность появления скрытых трещин.

Для снижения уровня сварочных напряжений необходимо:

- во время сварки допускать небольшие перемещения свариваемых частей;
- по возможности использовать многопроходную сварку;
- производить проковку каждого слоя наплавленного металла;
- отжигать готовое изделие при температуре 590-650°C, продолжительность отжига составляет по одному часу на каждые 25 мм толщины основного металла;

						Лист
					Сварка	56
Изм.	Лист	№ докум.	Подпись	Дата		56

- применять сварочную технологию, снижающую вероятность образования скрытых трещин;
- применять сварочную технологию, при которой все свариваемые части имеют неограниченную свободу перемещения;
- при сварке сталей, склонных к образованию горячих и холодных трещин, производить наплавку высокопластичного промежуточного слоя, если это позволяет получаемая прочность соединения.

<u>Поперечная трещина</u> - это трещина, ориентированная поперек оси сварного шва. Ориентация связана с направлением продольных компонент сварочных напряжений.

<u>Радиальные трещины</u> - это трещины, радиально расходящиеся из одной точки. Трещины этого типа, расходящиеся в разные стороны, известны как звездоподобные трещины. Радиальные трещины могут располагаться в металле сварного шва, в зоне термического влияния и в основном металле. Конфигурация трещины определяется макроструктурой зон сварных соединений, а также характером внутренних напряжений.

Трещина в кратере - это трещина в углублении на поверхности шва в месте отрыва дуги. Трещины могут быть продольными, поперечными и звездообразными. Конфигурация трещины определяется микроструктурой зон сварных соединений, а также характером термических, фазовых и механических напряжений.

<u>Раздельные трещины</u> - это группа не связанных друг с другом трещин. Они могут возникать в металле сварного шва, в зоне термического влияния и в основном металле. Конфигурация трещины определяется микроструктурой зон сварных соединений, а также характером термических, фазовых и механических напряжений.

<u>Разветвленные трещины</u> - это группа трещин, возникающих из одной трещины. Они могут располагаться в металле сварного шва, в зоне термического влияния и в основном металле. Конфигурация трещины определяется микроструктурой зон сварных соединений, а также характером термических, фазовых и механических напряжений.

Разновидности пор

Подобные дефекты часто встречаются в металле сварных швов. По сути своей и по механизму образования очень напоминают включения, ибо являются результатом протекающих в сварочной ванне химических реакций. Поры отличаются от включений тем, что внутри пор чаще всего находится газ, а не твердое вещество, как у включений.

						Лист
					Сварка	57
Изм.	Лист	№ докум.	Подпись	Дата		57

Источником появления газов, которые содержатся в порах, являются газы, выделяющиеся из охлаждающегося металла из-за уменьшения растворимости при снижении температуры металла, и газы, образующиеся в результате химических реакций в металле сварного шва.

Пористость, за исключением случаев, когда она появляется в очень больших количествах, как правило, не оказывает значительного влияния на прочностные свойства сварных соединений.

Появление в металле сварного шва пор вызвано:

- плохим качеством или неправильным подбором типа электродов;
- неправильным выбором технологии сварки;
- малым временем существования сварочной ванны, газы не успевают выйти из расплавленного металла;
- плохим качеством металла.
- следует производить прокалку электродов перед сваркой;
- при подозрении на плохое качество металла проверить его на наличие сегрегации и включений.

<u>Газовая полость</u> - это полость произвольной формы, образованная газами, задержанными в расплавленном металле, которая не имеет углов. Газовая полость образуется в результате выделения газов при кристаллизации сварного соединения. Мелкодисперсные включения на поверхности границ раздела фаз служат центрами зарождения пузырьков газа.

<u>Газовая пора</u> - это газовая полость, обычно сферической формы, содержащая задержанный металлом газ. Поры образуются в результате перенасыщения жидкого металла газами, которые не успевают выйти на поверхность во время его быстрой кристаллизации.

Равномерно распределенная пористость - это группа газовых пор, распределенных равномерно в металле сварного шва (не путать с цепочкой пор). Сплошную пористость вызывает большое количество ржавчины и масла на кромках заготовок, а также влажный или крупный флюс.

<u>Скопление пор</u> - это группа газовых полостей (три или более), расположенных кучно с расстоянием между ними менее трех максимальных размеров большей из полостей. Вызывается локальным скоплением ржавчины или масла на кромках заготовок.

Цепочка пор - это ряд газовых пор, расположенных в линию, обычно параллельно оси сварного шва, с расстоянием между ними менее трех максимальных размеров большей из пор.

					_	Лист
					Сварка	58
Изм.	Лист	№ докум.	Подпись	Дата		50

Цепочка пор вызывается главным образом подсосом воздуха в зазор между кромками шва.

Продолговатая полость - это несплошность, вытянутая вдоль оси сварного шва. Длина несплошности не менее чем в два раза превышает высоту. Обычно продолговатая полость возникает в зоне слабины, т. е. в ослабленном стыке зон столбчатых кристаллитов, растущих навстречу друг другу от линии сплавления.

<u>Свищ</u> - это трубчатая полость в металле сварного шва, вызванная выделением газа. Форма и положение свища определяются режимом затвердевания и источником газа. Обычно свищи группируются в скопления и распределяются елочкой.

Причиной образования свищей может быть:

- большая амплитуда колебаний электрода;
- перегрев основного металла, особенно в случае тонколистового металла;
- повышенное содержание влаги в покрытии электрода. Для предупреждения образований свищей необходимо:
- ограничить амплитуду колебаний электрода до четырех диаметров электрода;
- правильно подбирать ток и диаметр электрода с учетом толщины свариваемого металла;
- прокаливать электроды перед сваркой.

<u>Поверхностная пора</u> - это газовая пора, которая нарушает сплошность поверхности сварного шва. Появление поверхностных пор связано с рядом металлургических и технологических факторов.

<u>Усадочная раковина</u> - это полость, образующаяся вследствие усадки во время затвердевания. Раковины имеют наибольший размер и обычно перпендикулярны к поверхности сварного шва.

Усадкой называют самопроизвольное уменьшение объема сварного шва, связанное с его нагревом до жидкого состояния и охлаждением.

Кратер - это усадочная раковина в конце валика сварного шва, не заваренная до или во время выполнения последующих проходов. Дефект возникает вследствие технических неполадок сварочных головок, резкого уменьшения напряжения и силы тока дуги, резкого отрыва дуги [27].

						Лист
					Сварка	59
Изм.	Лист	№ докум.	Подпись	Дата		Ja

4. Расчетная часть

4.1. Определение количества листов, высоты и объема резервуара

Делаем проверку: возможно ли строительство резервуара с постоянной толщиной стенки.

Согласно таблице 33. ПБ 03-605-03 минимальная конструктивная, необходимая толщина стенки по условию устойчивости равна 5мм, так как монтаж стенки резервуара из листов

 $t_{\kappa,c} = 5 \text{ MM}.$

$$V_{\text{Max}} = \pi * t_{\kappa.c} * \alpha * \sqrt{\frac{\alpha}{\Delta_{\partial.\kappa.}}}$$
 (1)

Где α - расчетное сопротивлении материала стенок резервуара по пределу текучести.

$$\alpha = \frac{\gamma_c * R_{wy}}{n_c * \rho_{xc} * g} \tag{2}$$

 Γ де γ_c — коэффициент условия работы конструкций при расчете стенки резервуара на прочность.

$$\gamma_c = \left\{ \begin{array}{l} 0.7 - \text{первый пояс} \\ 0.8 - \text{для остальных поясов} \\ 0.9 - \text{для всех поясов при гидроиспытании}. \end{array} \right.$$

 n_z -коэффициент надежность по нагрузки от гидростатического давления жидкости

СНиП 2.09.03-85 принимаем равным 1,05.

 R_{wy} – расчетное сопротивлении сварного стыкового шва.

$$R_{wy} = \frac{R_{yn}}{\gamma_m} \tag{3}$$

Где R_{yn} — предел текучести стали (нижний пояс)

 γ_m — коэффициент надежности по материалу при поставке стали по ГОСТ 27772-88*

Для всех сталей $\gamma_m = 1,025$ кроме С590 и С590К

 $\Delta_{\partial.\kappa.}$ — сумма приведенных толщин днища и крыши резервуара, равная $1,45*10^{-2}$ м.

					Контроль качества сварных соединений резервуара вертикального стальн типа РВС 10000 м ³				
Изм.	Лист	№ докум.	Подпись	Дата					
Разр	аб.	Клюев Г.В.				J	lum.	Лист	Листов
Рукое	30д.	Лунева Е.Е.						60	99
Консу	/льт.				Расчетная часть				<u> </u>
3ав. Н	⟨аф.	Рудаченко				<i>T</i>	ПУ	ТХНГ г	р. з-2Т01
					!				

$$R_{wy} = \frac{285}{1.025} = 278,049 \tag{4}$$

$$\alpha = \frac{0.8 * 278,049 * 10^6}{1,05 * 860 * 9,80665} = 25119,012 \tag{5}$$

$$V_{\text{Max}} = 3,14159 * 4 * 25119,012 * \sqrt{\frac{25119,012}{1,45}} = 2596,626$$
 (6)

Так как $V=10000 M_3 > V_{max}=2596,626$, следовательно, ведем расчет с переменной толщиной стенки по поясам.

$$H_{onm} = \sqrt{\frac{R_{wy} * \gamma_c * \Delta_{\partial.\kappa.}}{n_c * \rho_{com} * g}} = \sqrt{\frac{278,049 * 0.8 * 0.0145}{1,05 * 860 * 9,80665}} = 19,185M$$
 (7)

Находим количество поясов

$$n_n = \left| \frac{H_{onm}}{h'_n} \right| \tag{8}$$

Где $h_n^{'}$ – ширина листа с учетом обрезки кромок по высоте на 0,01

$$n_n = \frac{19,185}{1,99} = 9,64 \tag{9}$$

Далее находим высоту резервуара

$$H_{1} = n'_{n} * h'_{n} \tag{10}$$

Где $n_n^{'}$ – число поясов округленное в большую сторону

$$H_1 = 10 * 1,99 = 19,9$$
 (11)

$$H_2 = n_n'' * h_n' (12)$$

Где $n_n^{''}$ – число поясов округленное в меньшую сторону

$$H_2 = 9 * 1,99 = 17,91$$
 (13)

Далее находим оптимальный радиус резервуара

$$R_{onm} = \sqrt{\frac{V}{\pi * H_{onm}}} = \sqrt{\frac{10000}{3,14159 * 19,185}} = 12,252M \tag{14}$$

Находим количество листов

$$l_{o\kappa p} = 2 * \pi * R = n_{\pi} * l_{\pi}'$$
 (15)

Где $l_{_{\! /\! 1}}^{'}$ – длинна листа с учетом обрезки кромок на 0,02 и равная 7,98м Следовательно:

$$n_{\pi} = \frac{2 * \pi * R}{l_{\pi}'} = \frac{2 * 3,14159 * 12,252}{7,98} = 9,647$$
 (16)

Округлим количество листов в большую и меньшую стороны, также разрешается разрезать лист пополам и получим:

						Лист
					Расчетная часть	61
Изі	ı. Лист	№ докум.	Подпись	Дата		01

$$n_{n1} = 10$$
$$n_{n2} = 9$$

$$n_{\pi 3} = 9.5$$

Находим строительный радиус резервуара

$$R_{cmp} = \frac{n_{\pi} * l_{\pi}'}{2 * \pi} \tag{17}$$

$$R_1 = \frac{10 * 7,98}{2 * 3,14159} = 12,701_M \tag{18}$$

$$R_2 = \frac{9*7,98}{2*3,14159} = 11,431_M \tag{19}$$

$$R_3 = \frac{9.5 * 7.98}{2 * 3.14159} = 12,066M \tag{20}$$

Далее находим строительный объем резервуара

$$V_{cmp} = \pi * R_{cmp}^2 * H_{cmp}$$
 (21)

$V_1 = \pi * R_1^2 * H_1$		$= 3,14*12,701^2*19,9= 10084,384$
$V_2 = \pi * R_2^2 * H_1$		$= 3,14*11,431^2*19,9=9168,351 \text{ m}^3$
$V_3 = \pi * R_3^2 *$	V_3	$= 3,14*12,066^2*19,9= 10101,156$
$V_4 = \pi * R_1^2 * H_2$	V_4	$= 3,14*12,701^2*17,91 = 10075,945$
$V_5 = \pi * R_2^2 * H_2$		$= 3,14*11,431^2*17,91 = 8351,516$
$V_6 = \pi * R_3^2 * H_2$	V_6	$= 3,14*12,066^2*17,91 = 10191,041$

Наименьшая разница

$$|V_{\text{ctp}} - V_{\scriptscriptstyle \Gamma}|$$

Где $V_{\text{стр}}$ -строительный объем.

 $V_{\scriptscriptstyle \Gamma}$ – геометрический объем.

$$|10000 - 10075,945| = 75,945 \text{ m}^3$$

Из всего выше приведенного можно сделать вывод что

$$\begin{array}{ll} V_p &= 10075,945 \ \text{M}^3 \\ H_p &= 17,91 \text{M} \\ R_p &= 12,701 \text{M} \\ n_\pi &= 10 \\ n_\pi &= 9 \end{array}$$

					_
					Pá
Изм.	Лист	№ докум.	Подпись	Дата	

Находим высоту залива жидкости в резервуаре. Так как на РВС установлена система АСКП (автоматическая система комбинированного пожаротушения), то расчет допустимого уровня налива жидкости будем производить по следующей формуле:

$$H_{xx} = H_{p} - 0.3 \text{ m} = 17.91 - 0.3 = 17.61 \text{ m}$$
 (22)

Далее находим объем жидкости в резервуаре:

$$V_{x} = \pi^* R_p^2 * H_{x} - [1/3 * \pi^* R_p^2 (i^* R_p)], \tag{23}$$

где і - уклон днища резервуара

$$V_{x} = 3,14159*12,701^{2}*17,61 - [1/3*3,14159*12,701^{2} (0,01*12,701)] = 8902,466$$
 M^{3}

4.2. Определение номинальной толщины стенки и устойчивости резервуара

Рассчитываем номинальную толщину стенки:

$$(t_{HOM} - \Delta) > max \{t_3 + c; t_g; t_{KC}\},$$
 (25)

где t_{HOM} - номинальная толщина стенки каждого пояса;

 Δ - минусовой допуск на толщину листа;

t_Э - толщина стенки по условиям эксплуатации;

с - припуск на коррозию;

 $t_{\rm g}$ - толщина стенки по условиям гидроиспытания; ;

 $\mathbf{t}_{\kappa c}$ - минимальная конструктивная толщина стенки по условиям устойчивости, равная 9 мм

$$t_{3} = [n_{r} * \rho * g (H_{x} - z_{i}) + n_{u} * P_{u}^{H}] * R_{p} / (\gamma_{c} * R_{wy}),$$
(26)

где п_и- коэффициент надежности по нагрузке от избыточного давления;

z_i - расстояние от днища резервуара до нижней кромки 1-го пояса;

 $P_{u}^{\ H}$ - давление насыщенных паров;

ус - коэффициент условий работы конструкции при расчете стенки резервуара на прочность;

$$\gamma_c$$
 = 0,7 –первый пояс
 0,8 – для остальных поясов
 0,9 – для всех поясов при гидроиспытании.

$$z_1 = 0.3 M$$
 (27)

$$z_2 = h_{\pi}^1 = 1.99 M$$

Лист

$$z_3 = 2*h_{\pi}^2 = 2*1,99=3,98M$$

$$z_4 = 3*h^{}_{\pi} = 3*1,99=5,97M$$

$$z_5 = 4*h_{\pi} = 4*1,99 = 7,96$$
M

$$z_6 = 5*h_{\pi} = 5*1,99 = 9,95 M$$

№ докум.

$$z_7 = 6*h_{\pi} = 6*1,99 = 11,94 \text{M}$$

$$z_8 = 7*h_{\pi} = 7*1,99 = 13,93 \text{ M}$$

 $z_9 = 8*h_{\pi} = 8*1,99 = 15,92 \text{ M}$

$$P_u^H = 1,29(t_{max}/37.8)^{0,69} *(V_{\kappa}/(V_{\Gamma\Pi} + V_{\kappa})^{0,19}) * P_{S38},$$
 (28)

где $V_{\mbox{\tiny гп}}$ - объем газового пространства;

P_{S38} - давление насыщенных паров по Рейду;

Согласно ГОСТ Р 51858-2002 «Нефть. Общие технические условия» п. 4.4. таб. 3 ДНС товарной нефти не должно превышать 500 мм.рт.ст.

 $P_{s38} \le 66661,1842\Pi a(500 \text{ MM.pt.ct.})$

$$V_{rrr} = (Vp - V_{\kappa}) + V_{\kappa}, \tag{29}$$

Где V_{κ} = объем крыши для резервуара с каркасной конической крышей

$$V_{K} = V_{KOH} \tag{30}$$

где
$$V_{\text{кон}} = ((\pi * R^2)/3) * H_{\text{кон}}$$
 (31)

$$H_{\text{KOH}} = (R * m) = 12,701*0,167 = 2,117$$
 (32)

$$V_{\kappa} = ((3,14159 * 12,701^{2})/3) * 2,177 = 357,559 \text{ m}^{3}$$
(33)

$$V_{rrr} = (9075,945 - 8902,466) + 357,599 = 531,038 \text{ m}^3$$
 (34)

$$P_{s38} = P_{amm} * e^{\left[10,53*\left(1 - T_{HK}/T_{38}\right)\right]}$$
(35)

 $T_{HK} = 342,15$ K

$$T_{38} = 273,15 + 37,8 = 310,95K$$
 (36)

$$P_{s38} = 101325 * e^{\left[10,53*\left(1-\frac{342,15}{310,95}\right)\right]} = 35225,75\Pi a$$
 (37)

$$P_u^H = 1,29(24/37,8)^{0,69} *(8902,466/(531,038 + 8902,466)^{0,19}) * 35225,75=32850,77\Pi a$$
 (38)

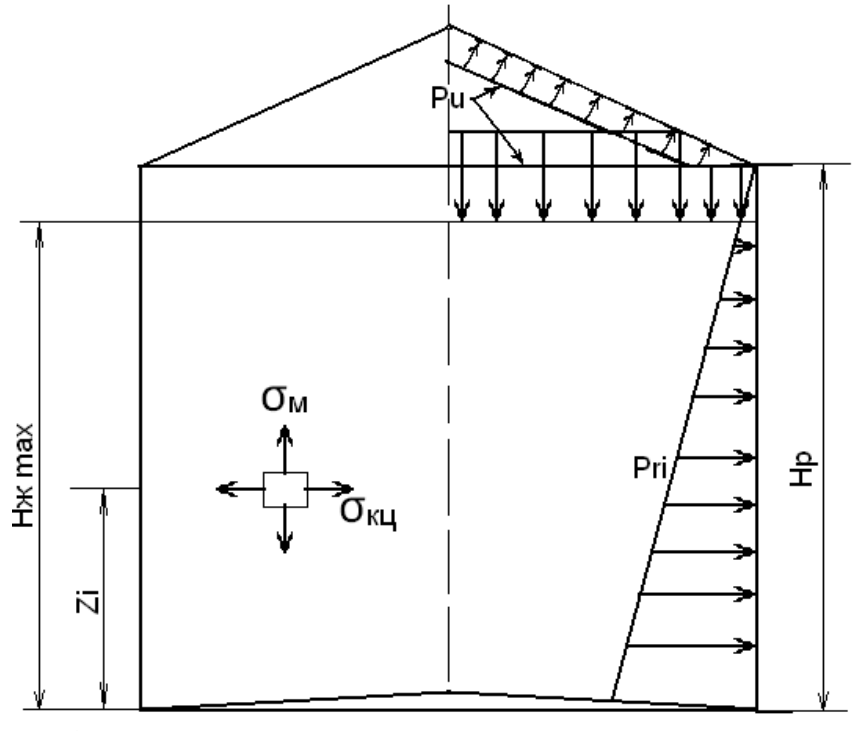


Рис 4.1 Расчетная схема резервуара

						Лист
					Расчетная часть	64
Изм.	Лист	№ докум.	Подпись	Дата		04

Расчет толщины стенки резервуара производится согласно уравнению Лапласа, которое описывает безмоментное двухосное напряжение состояние тонкостенной оболочки вращения бесконечно малого элемента тонкостенной оболочки вращения под действием осеметричной нагрузки

$$\frac{\sigma_{\text{KII}}}{R_{\text{KII}}} + \frac{\sigma_{\text{M}}}{R_{\text{M}}} = \frac{P_i}{t_i} \tag{39}$$

Где $\sigma_{\text{кц}}$ - кольцевое растягивающее напряжение действующее в стенки резервуара,

 $\sigma_{\rm M}$ - меридиональное растягивающее напряжение действующее в стенки резервуара,

 P_i — оссеметрическая нагрузка, действующая по нормам Кт.с., расположенном в i-том поясе резервуара

 t_i — толщина і-того пояса.

Для цилиндрических поверхностей $R_{\text{кц}} = R_{\text{ср}}$ (внутренний R резервуара по 1 поясу) $R_{\text{м}} = \infty$

Pu – избыточное давление,

Pri – гидростатическое давление i-ого пояса

$$P_{\Sigma i} = P_{ri} + P_u \tag{40}$$

$$P_i = n_r * \rho_{\mathcal{K}} * g * (H_{\mathcal{K}} - Z_i)$$
 (41)

$$P_u = n_u * P_u^{\mathrm{H}} \tag{42}$$

Для цилиндра:
$$\sigma_{\text{ку}} = \frac{P*R_{\text{cp}}}{t}$$
 (43)

$$\sigma_{\rm M} = \frac{P * R_{\rm cp}}{2 * t} \tag{44}$$

 $\frac{t}{R_{\rm cn}} \le 0.05$ где t - толщина стенки.

$$\sigma_{\text{\tiny KII}} = \frac{P_i * R_p}{t_i} \le \gamma_c * R_{wy} \tag{45}$$

$$t_{\ni i} = \frac{P_i * R_p}{\gamma_c * R_{wv}} \tag{46}$$

Так как $\sigma_{\text{кц}}$ в 2 раза больше $\sigma_{\text{м}}$, то она и определяет условие прочности.

Расчет толщины стенки по условиям эксплуатации

$$t_{9i} = \frac{n_{2} * \rho_{yc} * g * (H_{max} - z_{i}) + n_{u} * P_{u}^{H}}{\gamma_{c} * R_{wy}} * R_{p}$$
(47)

$$t_{91} = \frac{1,05 * 860 * 9,80665 * (17,61 - 0,3) + 1,2 * 32850,77}{0,7 * 365,854 * 10^{6}} * 12,701$$
$$= 0.01258 M$$

					ſ
					l
Изм.	Лист	№ докум.	Подпись	Дата	

$$t_{32} = \frac{1,05*860*9,80665*(17,61-1,99)+1,2*32850,77}{0,8*365,854*10^6}*12,701$$

$$= 0,01015M$$

$$t_{33} = \frac{1,05*860*9,80665*(17,61-3,98)+1,2*32850,77}{0,8*365,854*10^6}*12,701$$

$$= 0,009142M$$

$$t_{34} = \frac{1,05*860*9,80665*(17,61-5,97)+1,2*32850,77}{0,8*365,854*10^6}*12,701$$

$$= 0,008136M$$

$$t_{35} = \frac{1,05*860*9,80665*(17,61-7,98)+1,2*32850,77}{0,8*365,854*10^6}*12,701$$

$$= 0,007130M$$

$$t_{36} = \frac{1,05*860*9,80665*(17,61-9,95)+1,2*32850,77}{0,8*365,854*10^6}*12,701$$

$$= 0,006124M$$

$$t_{37} = \frac{1,05*860*9,80665*(17,61-11,94)+1,2*32850,77}{0,8*365,854*10^6}*12,701$$

$$= 0,005118M$$

$$t_{38} = \frac{1,05*860*9,80665*(17,61-13,93)+1,2*32850,77}{0,8*365,854*10^6}*12,701$$

$$= 0,004111M$$

$$t_{39} = \frac{1,05*860*9,80665*(17,61-15,92)+1,2*32850,77}{0,8*365,854*10^6}*12,701$$

$$= 0,004111M$$

$$t_{39} = \frac{1,05*860*9,80665*(17,61-15,92)+1,2*32850,77}{0,8*365,854*10^6}*12,701$$

$$= 0,003105M$$

Согласно п.9 ПБ 03-605-03 резервуары объемом менее $40000 \mathrm{m}^3$ выдерживаются не менее 72 часа до верхней проектной отметки.

Расчет толщины стенки по условиям гидроиспытания.

$$t_{gi} = \frac{n_c * \rho_6 * g * (H_{max} - z_i)}{\gamma_c * R_{wy}} * R_p$$

$$t_{g1} = \frac{1,05 * 1000 * 9,80665 * (17,61 - 0,3)}{0,9 * 365,854 * 10^6} * 12,071 = 0,00978M$$

$$t_{g2} = \frac{1,05 * 1000 * 9,80665 * (17,61 - 1,99)}{0,9 * 365,854 * 10^6} * 12,071 = 0,009021M$$

$$t_{g3} = \frac{1,05 * 1000 * 9,80665 * (17,61 - 3,98)}{0,9 * 365,854 * 10^6} * 12,071 = 0,008127M$$

$$t_{g4} = \frac{1,05 * 1000 * 9,80665 * (17,61 - 5,97)}{0,9 * 365,854 * 10^6} * 12,071 = 0,007232M$$

Изм. Лист № докум. Подпись Дата

Расчетная часть

$$t_{g5} = \frac{1,05*1000*9,80665*(17,61-7,96)}{0,9*365,854*10^6}*12,071 = 0,006338 M$$

$$t_{g6} = \frac{1,05*1000*9,80665*(17,61-9,95)}{0,9*365,854*10^6}*12,071 = 0,005443 M$$

$$t_{g7} = \frac{1,05*1000*9,80665*(17,61-11,94)}{0,9*365,854*10^6}*12,071 = 0,004549 M$$

$$t_{g8} = \frac{1,05*1000*9,80665*(17,61-13,93)}{0,9*365,854*10^6}*12,071 = 0,003655 M$$

$$t_{g9} = \frac{1,05*1000*9,80665*(17,61-15,92)}{0,9*365,854*10^6}*12,071 = 0,002760 M$$

Как видно из представленной таблицы в нашем случае t_{κ} будет равно 10мм. $\Delta + c = 0.0003 + 0.00061 = 0.00091$ м

№пояса	t_{3i}	t_{gi}	t_{κ}	$\max\{\ t_{9i},t_{gi},t_{\kappa}\}$	Δ+c	$t_{max}+(\Delta+c)$	$t_{\scriptscriptstyle \mathrm{H}}$
1	12,58	9,78	10	12,58	0,91	13,49	14
2	10,15	9,02	10	10,15	0,91	11,06	12
3	9,14	8,13	10	10	0,91	10,91	11
4	8,14	7,23	10	10	0,91	10,91	11
5	7,13	6,34	10	10	0,91	10,91	11
6	6,12	5,44	10	10	0,91	10,91	11
7	5,12	4,55	10	10	0,91	10,91	11
8	4,11	3,66	10	10	0,91	10,91	11
9	3,11	2,76	10	10	0,91	10,91	11

10

 t_{κ} , MM

11

$$t_{31} = \frac{1,05 * 860 * 9,80665 * (17,61 - 0,3) + 1,2 * 32850,77}{0,7 * 248,78 * 10^{6}} * 12,701$$

$$= 0,01405M$$

$$t_{32} = \frac{1,05 * 860 * 9,80665 * (17,61 - 1,99) + 1,2 * 32850,77}{0,8 * 248,78 * 10^{6}} * 12,701$$

$$= 0,01134M$$

$$t_{33} = \frac{1,05 * 860 * 9,80665 * (17,61 - 3,98) + 1,2 * 32850,77}{0,8 * 248,78 * 10^{6}} * 12,701$$

$$= 0,01022M$$

$$t_{34} = \frac{1,05 * 860 * 9,80665 * (17,61 - 7,96) + 1,2 * 32850,77}{0,8 * 248,78 * 10^{6}} * 12,701$$

$$= 0,009093M$$

						Лист
					Расчетная часть	67
Изм.	Лист	№ докум.	Подпись	Дата		07

$$t_{95} = \frac{1,05*860*9,80665*(17,61-7,98)+1,2*32850,77}{0,8*248,78*10^6}*12,701$$

$$= 0,007969M$$

$$t_{96} = \frac{1,05*860*9,80665*(17,61-9,95)+1,2*32850,77}{0,8*248,78*10^6}*12,701$$

$$= 0,006844M$$

$$t_{97} = \frac{1,05*860*9,80665*(17,61-11,94)+1,2*32850,77}{0,8*248,78*10^6}*12,701$$

$$= 0,00572M$$

$$t_{98} = \frac{1,05*860*9,80665*(17,61-13,93)+1,2*32850,77}{0,8*248,78*10^6}*12,701$$

$$= 0,004595M$$

$$t_{99} = \frac{1,05*860*9,80665*(17,61-15,92)+1,2*32850,77}{0,8*248,78*10^6}*12,701$$

$$= 0,003471M$$

№пояса	t_{9i}	t_{gi}	t_{κ}	$\max\{\ t_{3i},t_{gi},t_{\kappa}\}$	Δ +c	$t_{max}+(\Delta+c)$	t _H	сталь
1	12,58	9,78	10	12,58	0,91	13,49	14	285
2	10,15	9,02	10	10,15	0,91	11,06	12	285
3	9,14	8,13	10	10	0,91	10,91	11	285
4	9,09	7,23	10	10	0,91	10,91	11	255
5	7,97	6,34	10	10	0,91	10,91	11	255
6	6,84	5,44	10	10	0,91	10,91	11	255
7	5,72	4,55	10	10	0,91	10,91	11	255
8	4,6	3,66	10	10	0,91	10,91	11	255
9	3,47	2,76	10	10	0,91	10,91	11	255

Далее осуществляем проверочный расчет на прочность для каждого пояса резервуара, расчет производится не для номинальной, а для расчетной толщины стенки.

$$t_{pi} = t_{\text{HOMI}} - [\Delta] - c \tag{49}$$

$$t_{p1} = 14 - [0,61] - 0,3 = 13,09$$

$$t_{p2} = 12 - [0,61] - 0,3 = 11,09$$

$$t_{p3} = 11 - [0,61] - 0,3 = 10,90$$

$$t_{p4} = 11 - [0,61] - 0,3 = 10,90$$

$$t_{p5} = 11 - [0,61] - 0,3 = 10,90$$

$$t_{p6} = 11 - [0,61] - 0,3 = 10,90$$

$$t_{p7} = 11 - [0,61] - 0,3 = 10,90$$

$$T_{p8} = 11 - [0,61] - 0,3 = 10,90$$

Изм.

Лист

№ докум.

Подпись

Расчетная часть

68

$$t_{p9} = 11 - [0,61] - 0,3 = 10,90$$

$$\sqrt[2]{\sigma_{\kappa ui}^2 + \sigma_{\kappa ui} * \sigma_{Mi} + \sigma_{Mi}^2} \le R_{wy} * \gamma_c / \gamma_n$$
 (50)

Где σ_{M} – меридиональное кольцевое напряжение

 γ_n -коэффициент по назначению резервуаров.

Для резервуаров $5000 < V < 10000 \text{м}^3$ принять равным 1,05. (ПБ 03-605-03)

$$\sigma_{\kappa ui} = (P_{ci} + P_u) * \frac{R_p}{t_{ni}}$$
 (51)

Где P_2 – гидростатическое давление

$$P_{c} = n_{c} * \rho_{tmin} * g * (H_{color} - z_{i})$$
 (52)

$$\rho_{tmin} = \rho_{20} - \xi_t * (t_{min} - 20) \tag{53}$$

 Γ де ξ_t – температурная поправка на плотность нефти

 $\xi_t = 0,686~\kappa z/m^3~^o~C$ — по ГОСТ 3900-85: «Нефть и нефтепродукты. Методы определения плотности»

$$\rho_{tmin} = 860 - 0.686 * (4 - 20) = 870,974 \text{ KeV} \text{M} 3 \tag{54}$$

$$P_{\Gamma 1}=1,05*870,974*9,80665*(17,61-0,3)=155243,43\Pi a$$
 $P_{\Gamma 2}=1,05*870,974*9,80665*(17,61-1,99)=140086,79\Pi a$
 $P_{\Gamma 3}=1,05*870,974*9,80665*(217,61-3,98)=122239,63\Pi a$
 $P_{\Gamma 4}=1,05*870,974*9,80665*(17,61-7,96)=104392,5\Pi a$
 $P_{\Gamma 5}=1,05*870,974*9,80665*(17,61-7,96)=86545,30\Pi a$
 $P_{\Gamma 6}=1,05*870,974*9,80665*(17,61-9,95)=68698,13\Pi a$
 $P_{\Gamma 7}=1,05*870,974*9,80665*(17,61-11,94)=50850,97\Pi a$
 $P_{\Gamma 8}=1,05*870,974*9,80665*(17,61-13,93)=33003,80\Pi a$
 $P_{\Gamma 9}=1,05*870,974*9,80665*(17,61-15,92)=15156,64\Pi a$

$$\begin{split} &\sigma_{\text{кц1}} = (155243,\!43 + 32850,\!77) * \frac{19,\!051}{13,\!09 * 10^{-3}} = 182,\!498\text{М}\Pi\text{а} \\ &\sigma_{\text{кц2}} = (140086,\!79 + 32850,\!77) * \frac{19,\!051}{11,\!09 * 10^{-3}} = 198,\!053\text{М}\Pi\text{a} \\ &\sigma_{\text{кц3}} = (122239,\!63 + 32850,\!77) * \frac{5,\!2346}{10,\!09 * 10^{-3}} = 195,\!217\text{М}\Pi\text{a} \\ &\sigma_{\text{кц4}} = (104392,\!5 + 32850,\!77) * \frac{19,\!051}{10,\!09 * 10^{-3}} = 172,\!752\text{М}\Pi\text{a} \\ &\sigma_{\text{кц5}} = (86545,\!30 + 32850,\!77) * \frac{19,\!051}{10,\!09 * 10^{-3}} = 150,\!287\text{M}\Pi\text{a} \\ &\sigma_{\text{кц6}} = (68698,\!13 + 32850,\!77) * \frac{19,\!051}{10,\!09 * 10^{-3}} = 127,\!823\text{M}\Pi\text{a} \end{split}$$

Изм.	Лист	№ докум.	Подпись	Дата

$$\begin{split} \sigma_{\text{KII}7} &= (50850,97 + 32850,77) * \frac{19,051}{10,09 * 10^{-3}} = 105,358\text{M}\Pi\text{a} \\ \sigma_{\text{KII}8} &= (33003,80 + 32850,77) * \frac{19,051}{10,09 * 10^{-3}} = 82,893\text{M}\Pi\text{a} \\ \sigma_{\text{KII}9} &= (15156,64 + 32850,77) * \frac{19,051}{10,09 * 10^{-3}} = 60,428\text{M}\Pi\text{a} \\ \sigma_{\text{NI}} &= 0,5 * 182,498 = 91,249\text{M}\Pi\text{a} \\ \sigma_{\text{NI}} &= 0,5 * 198,053 = 99,026\text{M}\Pi\text{a} \\ \sigma_{\text{NI}3} &= 0,5 * 198,053 = 99,026\text{M}\Pi\text{a} \\ \sigma_{\text{NI}4} &= 0,5 * 172,752 = 86,376\text{M}\Pi\text{a} \\ \sigma_{\text{NI}5} &= 0,5 * 150,287 = 75,114\text{M}\Pi\text{a} \\ \sigma_{\text{NI}6} &= 0,5 * 127,823 = 63,911\text{M}\Pi\text{a} \\ \sigma_{\text{NI}7} &= 0,5 * 105,358 = 52,697\text{M}\Pi\text{a} \\ \sigma_{\text{NI}9} &= 0,5 * 82,893 = 41,447\text{M}\Pi\text{a} \\ \sigma_{\text{NI}9} &= 0,5 * 80,428 = 30,214\text{M}\Pi\text{a} \\ &= 1 \text{ nosc } |\sqrt[3]{182,498^2 - 182,498 * 91,249 + 91,249^2} \leq 278,049 * 0,7/1,05| \\ &= 158,048 \leq 194,634 \\ &= 2 \text{ nosc } |\sqrt[3]{198,053^2 - 198,053 * 99,026 + 99,026^2} \leq 278,049 * 0,8/1,05| \\ &= 171,519 \leq 222,439 \\ &= 4 \text{ nosc } |\sqrt[3]{172,752^2 - 172,752 * 86,376 + 86,376^2} \leq 248,78 * 0,8/1,05| \\ &= 190,063 \leq 222,439 \\ &= 4 \text{ nosc } |\sqrt[3]{172,752^2 - 172,752 * 86,376 + 86,376^2} \leq 248,78 * 0,8/1,05| \\ &= 130,153 \leq 199,024 \\ &= 6 \text{ nosc } |\sqrt[3]{127,823^2 - 127,823 * 63,911 + 63,911^2} \leq 248,78 * 0,8/1,05| \\ &= 110,698 \leq 199,024 \\ &= 7 \text{ nosc } |\sqrt[3]{105,358^2 - 105,358 * 52,697 + 52,697} \leq 248,78 * 0,8/1,05| \\ &= 110,698 \leq 199,024 \\ &= 8 \text{ nosc } |\sqrt[3]{127,823^2 - 127,823 * 63,911 + 63,911^2} \leq 248,78 * 0,8/1,05| \\ &= 110,698 \leq 199,024 \\ &= 8 \text{ nosc } |\sqrt[3]{127,823^2 - 127,823 * 43,911 + 63,911^2} \leq 248,78 * 0,8/1,05| \\ &= 110,698 \leq 199,024 \\ &= 8 \text{ nosc } |\sqrt[3]{127,823^2 - 127,823 * 41,447 + 41,447^2} \leq 248,78 * 0,8/1,05| \\ &= 110,698 \leq 199,024 \\ &= 8 \text{ nosc } |\sqrt[3]{127,823^2 - 127,823 * 43,911 + 43,911^2} \leq 248,78 * 0,8/1,05| \\ &= 110,698 \leq 199,024 \\ &= 8 \text{ nosc } |\sqrt[3]{127,823^2 - 127,823 * 43,911 + 43,911^2} \leq 248,78 * 0,8/1,05| \\ &= 110,698 \leq 199,024 \\ &= 8 \text{ nosc } |\sqrt[3]{127,823^2 - 127,823 * 43,4147 + 41,447^2} \leq 248,78 * 0,8/1,05| \\ &= 110,698 \leq 199,024 \\ &= 110,698 \leq 199,024 \\ &= 110,698 \leq 199,024 \\ &= 110,698 \leq$$

						Jiucm
					Расчетная часть	70
Изм.	Лист	№ докум.	Подпись	Дата		70

9 пояс $ \sqrt[2]{60,428^2 - 60,428 * 30,214 + 30,214^2} \le 248,78 * 0,8/1,05 $
52.332<199.024

			Расчетное	Допустимое
№ пояса	$\sigma_{\kappa \mu}$,МПа	$\sigma_{\scriptscriptstyle M}$,МПа	напряжение,	напряжение,
			МПа	МПа
1	182,498	91,249	158,048	194,634
2	198,053	99,026	171,519	222,439
3	195,217	97,608	169,063	222,439
4	172,752	86,376	149,608	199,024
5	150,287	75,144	130,153	199,024
6	127,823	63,911	110,698	199,024
7	105,358	52,697	91,243	199,024
8	82,893	41,447	71,787	199,024
9	60,428	30,214	52,332	199,024

Необходимая прочность резервуара обеспечена.

Сварные швы должны удовлетворять требованиям:

Наплавленный валик должен заходить на основной метал с обеих сторон на 1,5...2мм, а его высота должна быть 1...2мм.

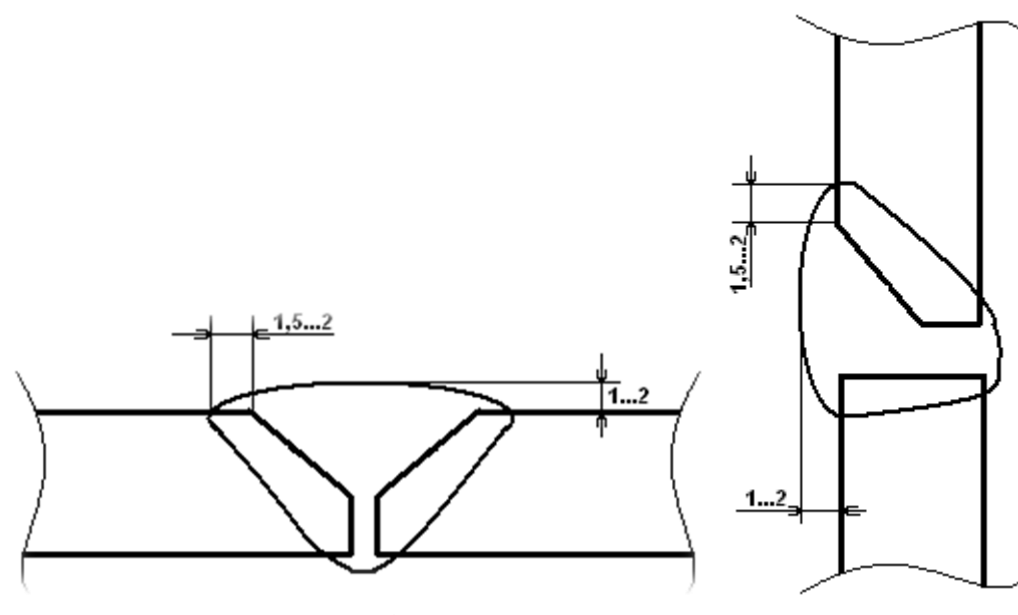


Рис 4.2 Выполнение сварки

						Лист			
					Расчетная часть				
Изм.	Лист	№ докум.	Подпись	Дата		/ /			

5. Финансовый менеджмент, ресурсоэффективность и ресурсосбережение

5.1. Расчет расхода сварочных материалов и времени сварки

Для расчета времени сварки необходимо знать общую протяженность сварных швов и скорость сварки.

Расчет времени сварки можно произвести по формуле:

$$t=S/V_{CB}$$
, (56)

где S – общая протяженность сварных швов, м;

 V_{cs} – скорость сварки, м/ч.

Протяженность сварных швов определяется по следующей формуле:

$$S=S_{\text{гориз}}+S_{\text{Bept}}, \tag{57}$$

где $S_{_{гориз}}$ — общая протяженность горизонтальных сварных швов, м; $S_{_{верт}}$ — общая протяженность вертикальных швов, м.

Общая протяженность горизонтальных и вертикальных сварных швов определяется из условия того, что для сварки каждого пояса резервуара необходимо 9 листов размером 2х8 м. Следовательно, протяженность горизонтальных и вертикальных сварных швов для I пояса составляет:

$$S_{\text{_ropu31}} = 9 \cdot 8 = 72 \text{ (M)},$$

 $S_{\text{_Bept1}} = 9 \cdot 2 = 18 \text{ (M)}.$

Общая протяженность сварных швов составит:

$$S_1 = 72 + 18 = 90$$
 (M).

Расчет эксплуатационных затрат:

- 1) с применением механизированной сварки;
- 2) с применением ручной дуговой сварки (РДС).

					Контроль качества сварных соединений резервуара вертикального стального типа РВС 10000 м ³					
Изм.	Лист	№ докум.	Подпись	Дата						
Разр	аб.	Клюев Г.В.				Лит.	Лист	Листов		
Руков	30д.	Лунева Е.Е.	E.		Финансовый менеджмент,		72	99		
Консу	/льт.				ресурсоэффективность и					
Зав. Каф.		Рудаченко					ТХНГ г	р. з-2Т01		
			1		4	4				

5.2. Расчет эксплуатационных затрат с применением механизированной сварки

Скорость сварки для каждого пояса резервуара определяется, исходя из таблицы 5.1.

Таблица 5.1 Сводная таблица основных параметров сварки для каждого пояса резервуара

№ пояса	I _{CB}	U _д	$oldsymbol{V}_{ ext{CB}}$	$V_{\scriptscriptstyle \Pi \ni J}$	q_n
	A	В	м/ч	м/ч	Дж/см
I		26,4 ± 1	5,07	149,4	20970
II			5,55		19200
III	140		6,76		15728
IV-X			8,09		13141

Для I пояса резервуара значение скорости сварки равно 5,07 м/ч. Следовательно, время сварки I пояса резервуара составит:

$$t_1 = \frac{90}{5,07} = 17,75$$
 (ч).

Расход сварочной проволоки определяется по формуле:

$$C = V_{\Pi \ni \Pi} \cdot t \cdot K_{\mathsf{p}},\tag{58}$$

Пист

где $V_{\text{пэл}}$ – скорость подачи электродной проволоки, м/ч.

 $K_{\rm p}$ – коэффициент расхода сварочной проволоки; $K_{\rm p} = 1,15$;

t – время сварки, ч.

Скорость подачи электродной проволоки определяется, исходя из таблицы 5.1. Данный параметр остается на всем протяжении сварочного процесса и равен 149,4 м/ч. Следовательно, расход сварочной проволоки для I пояса резервуара будет равен:

$$C_1 = 149.4 \cdot 17.75 \cdot 1.15 = 3050$$
 (M).

					Финансовый менеджмент, ресурсоэффективность и ресурсосбережение
Изм.	Пист	№ докум.	Подпись	Лата	• •• •

Необходимо произвести пересчет расхода сварочной проволоки из метров в килограммы по формуле:

$$m = V \cdot \rho = \frac{\pi \cdot d_3^2}{4} \cdot C \cdot \rho, \tag{59}$$

где d_9 – диаметр электрода (d_9 =0,0012 м);

 ρ – плотность материала электрода (ρ =7790 кг/м³);

С – расход сварочной проволоки, м.

$$m_1 = \frac{3,14 \cdot 0,0012^2}{4} \cdot 3050 \cdot 7790 = 26,86 \text{ (кг)}.$$

Расход углекислого газа определяется из условия того, что для производства сварки сварочной проволокой диаметром 1,2 мм расход углекислого газа составляет 12 л/мин или 720 л/ч. Расход углекислоты определяется по формуле:

$$D = 720 \cdot t, \tag{60}$$

где t - время сварки, ч.

Для I пояса резервуара расход углекислого газа будет равен:

$$D_1 = 720 \cdot 17,75 = 12780$$
 (л).

Расчет времени сварки II пояса будет аналогичен расчету для I пояса резервуара. В расчете изменится только скорость сварки, которая берется из таблицы 10. По формуле (56) рассчитываем время сварки:

$$t_2 = \frac{90}{5,55} = 16,22 \text{ (4)}.$$

Расход сварочной проволоки определяется по формуле (58):

$$C_2 = 149,4 \cdot 16,22 \cdot 1,15 = 2787(M).$$

Необходимо произвести пересчет расхода сварочной проволоки из метров в килограммы по формуле (59):

$$m_2 = \frac{3,14 \cdot 0,0012^2}{4} \cdot 2787 \cdot 7790 = 24,55 \text{ (кг)}.$$

Для II пояса резервуара расход углекислого газа определяется из формулы (60):

$D_2 =$	720 ·	16,22 =	= 11678	(л).

14.	_	M= 2:	<i></i>	
Изм.	Лист	№ докум.	Подпись	<i>цата</i>

Расчет времени сварки III пояса будет аналогичен расчету для I пояса резервуара. В расчете изменится только скорость сварки, которая берется из таблицы 5.1. По формуле (56) рассчитываем время сварки:

$$t_3 = \frac{90}{6.76} = 13,31 \text{ (4)}.$$

Расход сварочной проволоки определяется по формуле (58):

$$C_3 = 149.4 \cdot 13.31 \cdot 1.15 = 2287(M).$$

Необходимо произвести пересчет расхода сварочной проволоки из метров в килограммы по формуле (59):

$$m_3 = \frac{3,14 \cdot 0,0012^2}{4} \cdot 2287 \cdot 7790 = 20,13$$
 (кг).

Для III пояса резервуара расход углекислого газа определяется из формулы (60):

$$D_3 = 720 \cdot 13{,}31 = 9583 (\pi).$$

Расчет времени сварки IV-X поясов резервуара будет аналогичен расчету для I пояса резервуара. В расчете изменится только скорость сварки, которая берется из таблицы 10. По формуле (56) рассчитываем время сварки:

$$t_4 = t_5 = t_6 = t_7 = t_8 = t_9 = t_{10} = \frac{90}{8.09} = 11,12 \text{ (4)}.$$

Расход сварочной проволоки определяется по формуле (58):

$$C_4 = C_5 = C_6 = C_7 = C_8 = C_9 = C_{10} = 149.4 \cdot 11.12 \cdot 1.15 = 1910$$
 (M).

Необходимо произвести пересчет расхода сварочной проволоки из метров в килограммы по формуле (59):

$$m_4 = m_5 = m_6 = m_7 = m_8 = m_9 = m_{10} = \frac{3,14 \cdot 0,0012^2}{4} \cdot 1910 \cdot 7790$$

= 16,82 (кг).

Для IV-X поясов резервуара расход углекислого газа определяется из формулы (60):

$$D_4 = D_5 = D_6 = D_7 = D_8 = D_9 = D_{10} = 720 \cdot 11{,}12 = 8006 (\pi).$$

Изм.	Лист	№ докум.	Подпись	Дата

Общее время сварки будет равно сумме времени сварки каждого пояса резервуара и определяется по формуле:

$$t = t_1 + t_2 + t_3 + t_4 + t_5 + t_6 + t_7 + t_8 + t_9 + t_{10}$$

$$t = 17,75 + 16,22 + 13,31 + 11,12 + 11,1$$

Общий расход сварочной проволоки определяется по формуле:

$$m = m_1 + m_2 + m_3 + m_4 + m_5 + m_6 + m_7 + m_8 + m_9 + m_{10},$$
 (62)
 $m = 26,86 + 24,55 + 20,13 + 16,82$

Общий расход углекислого газа определяется по формуле:

$$D = D_1 + D_2 + D_3 + D_4 + D_5 + D_6 + D_7 + D_8 + D_9 + D_{10},$$

$$D = 12780 + 11678 + 9583 + 8006 + 800$$

Так как в баллонах находится углекислота, то необходимо пересчитать расход газа. Из 1 л углекислоты получается 315 л углекислого газа. Соответственно, количество углекислоты, необходимой для сварки, составит:

$$g = \frac{90083}{315} = 285,98 (\pi).$$

Все расчеты проведены для сварки с одной стороны, а так как сварка двусторонняя, то необходимо в 2 раза больше сварочной проволоки и углекислого газа:

$$M = 2 \cdot 189,28 = 378,56$$
 (кг); $G = 2 \cdot 285,98 = 571,96$ (л).

Изм.	Лист	№ докум.	Подпись	Дата

5.3. Расчет эксплуатационных затрат с применением ручной дуговой сварки

При использовании ручной дуговой сварки расход электродов определяется по формуле:

$$L_{\mathfrak{d}} = K_{\mathfrak{D}} \cdot G_{\mathfrak{H}},\tag{64}$$

где $K_{\rm p}$ — коэффициент расхода электродов на один килограмм наплавленного металла. Для электродов LB — 52U он равен: $K_{\rm p}=1,6$.

 $G_{\rm H}$ – масса наплавленного металла, которую определим по формуле:

$$G_{\rm H} = V \cdot \gamma, \tag{65}$$

где V – объем наплавленного металла;

 γ – плотность металла; $\gamma = 7.8 \ \text{г/см}^3$.

Объем наплавленного металла определяется по формуле:

$$V = (F_{H1} \cdot S_1) + (F_{H2} \cdot S_2) + (F_{H3} \cdot S_3) + (F_{H4} \cdot S_4) + (F_{H5} \cdot S_5) + (F_{H6} \cdot S_6) + (F_{H7} \cdot S_7) + (F_{H8} \cdot S_8) + (F_{H9} \cdot S_9) + (F_{H10} \cdot S_{10}),$$
(66)

где $F_{\rm H}$ - площадь наплавленного металла пояса, см²;

S - длина сварных швов пояса, м.

Следовательно:

$$V = (0,3 \cdot 10800) + (0,274 \cdot 18000) + (0,225 \cdot 18000) + (0,188 \cdot 18000) = 35910 (cm3).$$

Таким образом:

$$L_9 = 1,6 \cdot 35910 \cdot 7,8 = 448156,8 (г) = 448,16 (кг).$$

Изм.	Лист	№ докум.	Подпись	Дата

Таблица 5.2. Стоимость материалов на проведение мероприятия

№ п/п	Материал	Цена,	Вес одного	Количес	Сумма, руб
342 11/11	материал	руб/т	листа, т	тво	Сумма, руб
1	Лист горячекатаный 9.0, 17ГС	27 020	1,123	9	273 092
2	Лист горячекатаный 8.0, 17ГС	21 000	0,998	9	188 622
3	Лист горячекатаный 7.0, 17ГС	21 000	0,874	9	165 186
4	Лист горячекатаный 6.0, 17ГС	21 000	0,749	9	141 561
5	Лист горячекатаный 5.0, 17ГС	18 000	0,624	54	606 528
	1 374 988				

Разница расходов на проведение мероприятия двумя способами сварки будет заключаться в разнице затрат на расходные материалы (в первом способе: сварочная проволока и углекислота, а во втором: электроды), цены которых представлены в таблице 5.3.

Таблица 5.3. Стоимость расходных материалов при проведении мероприятия двумя способами сварки

		Метод сварки:					
	Наименование	механизированная сварка			ручная дуговая сварка		
материалов		Кол-во, кг.	Цена, руб.	Сумма, руб.	Кол-во, кг.	Цена, руб.	Сумма, руб.
1	Электроды				448,16	170	76 187
2	Кассета со сварочной проволокой (15 кг)	378,56	1 320	34 320			
3	Углекислота в баллоне (V=40 л)	571,96	1 300	19 500			
	Итого:			52 909			76 187

Из таблицы следует, что использование механизированной сварки выгоднее с экономической точки зрения на 22 367 руб.

Изм.	Лист	№ докум.	Подпись	Дата

5.4. Расчет времени на проведение мероприятия

Определим нормы времени для механизированной сварки в среде углекислого газа. Время на проведение мероприятия включает в себя основное время выполнения проходов механизированной сваркой в среде углекислого газа, а также вспомогательное время, которое необходимо для подготовки кромок сварного соединения и их последующую обработку.

Основное время, рассчитанное в п. 5.2. равно 125,12 ч.

Вспомогательное время приведено в таблице 5.4.

Таблица 5.4. Вспомогательное время на выполнение мероприятия

Операция	Время, мин	Общее время, час
Разделка кромок плазморезами	15	14
Последующая обработка кромок шлифовальными машинами	30	27
Предварительный подогрев	20	18
Приварка «ушей», монтаж листов, фиксация	40	36
Смена кассеты со сварочной проволокой	3	1
Шлифовка облицовочного шва	40	36
Другие операции	10	9
Итого:	158	141

Так как основные и вспомогательные операции могут выполняться одновременно, то общее время на мероприятие будет равно наибольшему значению из этих двух времен. Так как время вспомогательных операций больше, чем время основных, то общее время на выполнение мероприятия будет равно:

$$T = 141 (4).$$

5.5. Расчет затрат на оплату труда

К расходам на оплату труда относятся:

▶ суммы, начисленные по тарифным ставкам, должностным окладам, сдельным расценкам или в процентах от выручки от реализации продукции

Изм.	Лист	№ докум.	Подпись	Дата

(работ, услуг) в соответствии с принятыми на предприятии (организации) формами и системами оплаты труда;

▶ надбавки по районным коэффициентам, за работу в районах крайнего Севера и др.

Таблица 5.5. Расчет заработной платы

Профессия	Количество рабочих в бригаде		ставка,	мероприятия, ивка, ч.		Тарифный фонд ЗП, тыс.руб.		Сев. и рай. коэф. 50%+60%		Заработная плата с учетом надбавок, тыс. руб.		
		Mex.	РДС	руб./час	Mex.	РДС	Mex.	РДС	Mex.	РДС	Mex.	РДС
Мастер	8	1	1	108	141	200	15,23	21,60	16,75	23,76	31,98	45,36
Монтажник	4	2	2	54	141	200	15,23	21,60	16,75	23,76	31,98	45,36
Электросварщи к	5	2	2	96	82	115	15,75	22,08	17,32	24,29	33,06	46,37
Электросварщи к	3	1	1	60	36	50	2,16	3,00	2,38	3,30	4,54	6,30
Газорезчик	5	2	2	78	14	20	2,18	3,12	2,40	3,43	4,59	6,55
Слесарь	5	2	2	66	141	200	9,31	13,20	10,24	14,52	19,54	27,72
Итого		10	10		141	200	59,85	84,60	65,84	93,06	125,69	177,66

5.6. Страховые взносы

Отчисления на социальные нужды определяются суммой единого социального налога по установленным законодательством нормам в процентах от расходов на оплату труда (30,5%).

Зная общий фонд заработной платы, рассчитаем величину страховых взносов. Для механизированной сварки эта величина равна:

$$N_1 = 125685 \cdot \frac{30,5}{100} = 38334 \text{ (руб)}.$$

Изм.	Лист	№ докум.	Подпись	Дата

Для ручной дуговой сварки величина страховых взносов равна:

$$N_2 = 177\ 660 \cdot \frac{30,5}{100} = 54\ 186\ (\text{py6}).$$

5.7. Затраты на проведение мероприятия

На основании вышеперечисленных расчетов затрат определяется общая сумма затрат на проведение организационно-технического мероприятия (Таблица 5.6.).

Таблица 5.6. Затраты на проведение организационно- технического мероприятия

Состав затрат	Сумма затрат, руб.		
	Механ. сварка	РДС	
Материальные затраты	1 427 897	1 451 175	
Оплата труда	125 685	177 660	
Страховые взносы	38 334	54 186	
Всего затрат:	1 591 916	1 683 021	

Таблица 5.7. Сравнение эксплуатационных затрат с применением двух различных видов сварки

	Расходы времени, ч	Сумма затрат, руб
Механизированная сварка	141	1 591 916
Ручная дуговая сварка	200	1 683 021

Затраты на сварку стенки резервуара объемом 10000 м³ механизированным способом составляют 1 591 916 руб., что на 91 105 руб. меньше, чем при ручной дуговой сварке.

Экономический расчет показал что переход к механическому методу сварки позволил снизить затраты и количество времени на проведение работ по сооружению стенки резервуара.

Изм.	Лист	№ докум.	Подпись	Дата

6. Социальная ответственность

Данный раздел включает в себя анализ технологического процесса сварки резервуара вертикального стального типа PBC 10000 м³ с учетом возможности появления, каких либо опасных и вредных факторов, а также их воздействия на работающих. Определены планы мероприятий по технике безопасности и производственной санитарии, направленные на снижение или устранение опасных факторов. Описаны мероприятия по противопожарной профилактике и охране окружающей среды.

6.1. Производственная безопасность при сварке резервуара вертикального стального типа PBC 10000 м³

При проведении работ присутствуют опасные и вредные производственные факторы, которые могут привести к ухудшению состояния здоровья или смерти рабочих, поэтому необходимо предусматривать мероприятия для защиты от них.

6.1.1. Анализ вредных производственных факторов

Вредными производственными факторами называются факторы, которые могут оказать отрицательное влияние на работоспособность или вызвать профессиональные заболевания и другие неблагоприятные последствия в организме человека.

Климатические условия в зоне проведения сварки резервуара вертикального стального типа PBC 10000 м³

Микроклимат представляет комплекс физических параметров воздуха, влияющих на тепловое состояние организма. К ним относят температуру, влажность, скорость движения воздуха, интенсивность радиационного излучения солнца, величину атмосферного давления.

					Контроль качества сварных соединений резервуара вертикального стального типа РВС 10000 м ³			ого стального	
Изм.	Лист	№ докум.	Подпись	Дата					
Разр	аб.	Клюев Г.В.				Лит.	Лист	Листов	
Руков	вод.	Лунева Е.Е.			Социальная		82	99	
Консу	⁄льт				ответственность				
Зав. Каф.		Рудаченко			TITY TXH		′ ТХНГ а	гр. з -2 Т01	

При выполнении работ обслуживающему персоналу приходится работать при воздействии солнечных лучей, сильном ветре, при атмосферных осадках, в условиях низких и высоких температур от минус 30°C до плюс 40°C.

Профилактика перегревания осуществляется организацией рационального режима труда и отдыха путем сокращения рабочего времени для введения перерывов для отдыха в зонах с нормальным микроклиматом. От перегрева головного мозга предусматривают головные уборы, средства индивидуальной защиты.

Повышенная запыленность и загазованность воздуха в рабочей зоне сварки резервуара вертикального стального типа PBC 10000 м³

Перед работ переносным газоанализатором началом воздушной При проверяется загазованности среды. ЭТОМ уровень загазованность не должна превышать предельно-допустимой концентрации по санитарным нормам согласно таблице 6.1. Работа разрешается только устранения опасных условий. В процессе работы после следует периодически контролировать загазованность, а в случае необходимости обеспечить принудительную вентиляцию.

Таблица 6.1. Предельно допустимые концентрации вредных веществ в воздухе рабочей зоны

Вещества	Предельно допустимая концентрация, мг/м ³
Бензин – растворитель (в пересчете на углерод)	300
Керосин (в пересчете на углерод)	300
Сероводород в смеси с углеводородами $C_1 - C_5$	3
Углеводороды $C_1 - C_{10}$	300
Стирол	5
Переоксидметилэтилкетона	5
Аэросил	1
Дибутилфталат	0,5
Метилэтилкетон	0,2

						Лист
					Социальная ответственность	
Изм.	Лист	№ докум.	Подпись	Дата		

Диметиланилин	0,003
Переоксид изопропилбензола	0,02
Ненасыщенная полиэфирная смола	6
Хлористый бензол	0,005
Амиловый спирт	0,002

В зависимости от содержания кислорода в воздухе применяются следующие противогазы:

- ▶ Фильтрующие при содержании кислорода в воздухе свыше 19 %. Обслуживающий персонал установки обеспечивается противогазами с марками коробок БКФ, возможно применение коробок марки «А».

Защита органов зрения осуществляется с помощью различных предохранительных очков. Защита органов дыхания обеспечивается применением различного рода респираторов и противогазов. Респираторы служат для защиты легких человека от воздействия взвешенной в воздухе пыли, противогазы - для защиты от газов и вредных паров.

Повышенный уровень шума в рабочей зоне сварки резервуара вертикального стального типа PBC 10000 м³

Источниками шума являются звуки, производимые работающими механизмами и агрегатами (звуки работающей строительной техники).

Действие шума на человека определяется влиянием на слуховой аппарат и многие другие органы и системы организма, в том числе и на нервную систему.

По санитарным нормам, допустимым уровнем шума, который не наносит вреда слуху даже при длительном воздействии на слуховой аппарат, принято считать: 55 децибел (дБ) в дневное время и 40 децибел (дБ) ночью.

Изм.	Лист	№ докум.	Подпись	Дата

Эквивалентный уровень звука непостоянного шума — уровень звука постоянного широкополосного шума, который имеет то же самое среднеквадратичное звуковое давление, что и данный непостоянный шум в течение определенного интервала времени.

Основные методы борьбы с шумом:

- снижение шума в источнике (применение звукоизолирующих средств);
 - снижение шума на пути распространения звука;
 - средства индивидуальной защиты (СИЗ): наушники;
 - соблюдение режима труда и отдыха.
- использование средств автоматики для управления технологическими процессами.

Ионизирующее излучение

Из применяемых средств контроля особую опасность представляют рентгеновские и гамма-лучи. Рентгеновские и гамма-лучи опасны для человека при продолжительном облучении и большой дозе. Предельно допустимая доза, которая не вызывает необратимых изменений в организме даже при продолжительном воздействии, равна 0,44х10-4 Кл/кг (0,017 рентгена).

Меры безопасности, снижающие дозу облучения на рабочем месте: введение промежуточной защитной среды между препаратом и обслуживающим персоналом, сокращение продолжительности работы и дистанционное управление. Радиоактивные источники устанавливают в специальные контейнеры, а рентгеновские трубки помещают в защитные кожухи. Материалом для защитной среды служит свинец. Применяются также баритобетон, бетон, свинцовое стекло.

Лаборатории, использующие рентгено- и гамма-дефектоскопы для контроля сварных соединений, должны иметь приборы, измеряющие интенсивность рентгеновских и гамма-лучей. Для общего контроля применяют дозиметр с ионизационной камерой ДКЗ, для индивидуального контроля — карманные дозиметры. Кроме контроля облучения обслуживающий персонал

Изм.	Лист	№ докум.	Подпись	Дата

лаборатории периодически проходит медицинское обследование.

6.1.2. Анализ опасных производственных факторов

Опасными производственными факторами называются факторы, способные при определенных условиях вызывать острое нарушение здоровья и гибели человека.

Сварочное оборудование, предназначенное для сварки под флюсом на стационарных постах, должно иметь:

- а) приспособление для механизированной засыпки флюса в сварочную ванну;
- б) флюсоотсос с бункером накопителем и фильтром (при возврате воздуха в помещение) для уборки использованного флюса со шва.

Стационарные установки для электродуговой сварки флюсом должны быть оснащены местными отсосами. Отсосы должны быть расположены непосредственно у места сварки (на расстоянии не более 40 мм от зоны дуги в сторону формирования шва). Рекомендуется применять отсосы щелевидной формы.

Скорость воздушного потока должна быть 4 - 9 м/сек. в зависимости от требуемого объема отсасываемого воздуха. Стационарные установки для сварки под слоем флюса должны быть обеспечены механизированными устройствами для очистки шва от шлаковой корки с одновременным его сбором. Ручная уборка флюса (в респираторе) допускается только в случаях, когда применение флюсоотсосов не представляется возможным.

В системе сбора и подачи флюса должна быть предусмотрена очистка выбрасываемого воздуха от пыли и газов. При засыпке флюса в бункер автомата должны быть приняты меры по защите работающего и окружающих рабочих мест от запыления.

Для предупреждения повышенного выделения аэрозоля газов, применяющихся при механизированной и автоматической сварке, флюс

Изм.	Лист	№ докум.	Подпись	Дата

должен быть сухим, не загрязненным посторонними веществами (смазывающими маслами, осколками флюсовой корки и т.д.).

При сварке под флюсом автоматами, передвигающимися по рельсовому пути, должны быть обеспечены надежность и правильность закрепления рельсового пути на изделии или на стенде, а также надежность крепления обратных и боковых роликов ходового механизма.

Рабочие места сварщиков при сварке труб и других крупногабаритных конструкций должны быть оборудованы специальными кабинами с подачей приточного воздуха, тепло - и звукоизоляцией наружных поверхностей и пультом управления сварочным процессом

Движущиеся машины и механизмы в рабочей зоне проведения сварки резервуара вертикального стального типа PBC 10000 м³

При строительстве трубопровода возможность получения механических травм очень высока. Повреждения могут быть разной тяжести вплоть до летального исхода, так как работа ведется с объектами большого веса (строительная техника, строительные сооружения). Для предотвращения повреждений необходимо соблюдать технику безопасности.

Мероприятия по обеспечению охраны труда, техники безопасности при проведении подготовительных и основных работ — организационные и технические меры по обеспечению безопасности, осуществляемые при подготовке объекта к проведению работ, применяемые средства коллективной и индивидуальной защиты, режим проведения работ, а также по оборудованию мест отдыха, приема пищи и санитарно — гигиенических норм.

До начала работ:

- 1) оформить наряд допуск на проведение газоопасных, огневых работ и работ повышенной опасности.
- 2) провести внеочередной инструктаж всем членам бригады по безопасным методам и приёмам ведения газоопасных, огневых работ и работ повышенной опасности, а также по правилам поведения во взрыво- и

·	·		·	
Изм.	Лист	№ докум.	Подпись	Дата

пожароопасной обстановке и других опасных условиях и обстоятельствах с росписью в Журнале инструктажей на рабочем месте и наряде-допуске.

Ознакомить всех руководителей, специалистов, механизаторов и бригадиров с данным Планом производства работ до начала работ, выборочно опросить персонал по усвоению требований безопасности отраженных в разделе;

- 3) до начала работ установить наличие и обозначить знаками расположение всех коммуникаций в радиусе проведения работ;
- 4) после доставки и расстановки всё электрооборудование, жилые вагоны, электрические аппараты следует заземлить;
 - 5) проверить взрывозащиту и изоляцию применяемого оборудования. На весь период работ:
- 1) в зоне производства работ организовать места для приема пищи, отдыха и санитарно гигиенические зоны. Жилой городок расположить на расстоянии не менее 100 м от места производства работ;
- 2) всю гусеничную технику, используемую при производстве работ, оборудовать устройствами, предохраняющими от бокового скольжения;
- 3) проверить наличие спецодежды, спец обуви и СИЗ у исполнителей по видам работ (костюм х/б, костюм сварщика, противогаз шланговый, страховочный пояс, страховочная веревка, защитная каска и т.д.)

Поражение электрическим током в зоне проведения сварки резервуара вертикального стального типа PBC 10000 м³

Опасность поражения электрическим током зависит от окружающей среды и обстановки. Сырость, жара, едкие пары и газы, токопроводящая пыль разрушающе действуют на изоляцию электроустановок, значительно снижают ее сопротивление. Создается опасность перехода напряжения на нетоковедущие части электрооборудования (корпуса, станины, кожухи),с которыми сварщик находится в контакте. В таких условиях также понижается электрическое сопротивление тела человека, дополнительно увеличивая опасность поражения током.

	·		·	·
Изм.	Лист	№ докум.	Подпись	Дата

Согласно действующим правилами устройства электроустановок (ПУЭ), работы на земле под открытым небом и под навесом относятся к III классу опасности - особо опасные помещения.

Поражение человека электрическим током или электрической дугой может произойти в следующих случаях:

- при прикосновении человеком, неизолированного от земли, к нетоковедущим металлическим частям электроустановок, оказавшимся под напряжением из-за замыкания на корпусе;
- при однофазном (однополюсном) прикосновении неизолированного от земли человека к неизолированным токоведущим частям электроустановок, находящихся под напряжением.

Все применяемое электрооборудование и электроинструменты должны иметь заземление и подлежат занулению отдельной жилой кабеля с сечением жилы не менее сечения рабочих жил или заземляющий провод диаметром 16 cm^2 .

Корпуса, а также все открытые проводящие части применяемого передвижного электрооборудования должны быть защищены от косвенного прикосновения, в соответствии с требованиями ПУЭ (пункт 1.7.51) путем заземления с помощью переносных заземлителей.

Сопротивление заземляющего устройства для электроустановок с глухозаземленной нейтралью для питания напряжением до 1 кВ не должно превышать 4 Ом, а для электроустановок с изолированной нейтралью напряжением до 1 кВ – 10 Ом (ПУЭ, пункт 1.7.104).

Для защиты персонала от поражения электрическим током при косвенном прикосновении в соответствии с требованиями ПУЭ (пункт 1.7.59) передвижное электрооборудование должно быть оборудовано устройством защитного отключения (УЗО).

Защита от электрического тока делится на два типа:

коллективная (оградительные устройства, изолирующие устройства и покрытия, заземления, устройства автоматического отключения);

Изм.	Лист	№ докум.	Подпись	Дата

индивидуальная (спецодежда).

 \mathbf{C} предупреждения рабочих об опасности поражения электрическим током широко используются плакаты и знаки безопасности.

Взрывоопасность баллонов с горючим газом в зоне проведения сварки резервуара вертикального стального типа РВС 10000 м³

работой И обеспечения безопасных Для управления условий эксплуатации при электрогазосварочных видах работ, баллоны снабжаются: запорно-регулирующей арматурой; приборами для измерения давления; предохранительными устройствами.

На месте сварки хранить кислородные баллоны можно только при проведении сварочных работ. На рабочем непосредственном разрешается хранить 2 баллона: 1-й рабочий, 2-ой запасной. Неполные баллоны следует хранить только в вертикальном положении и закрытыми, чтобы избежать возможности их падения и механического повреждения. Пустые же баллоны разрешается хранить штабелями, но высотой не более 4 рядов. Баллоны, хранящиеся на строительных площадках, должны храниться во временном складе из огнеупорного материала.

Вентили кислородных баллонов следует предохранять от попадания на них масел, пленки которых могут самовоспламеняться при контакте со сжатым кислородом. Запрещается работать с баллонами, давление в которых ниже рабочего, установленного редуктором данного баллона.

Баллоны для газов-заменителей (инертные газы (гелий, аргон), активные газы (азот, СО₂, водород, кислород) окрашивают в красный цвет и эксплуатируют в соответствии с правилами обращения с баллонами со сжатым или сжиженным газом. В процессе хранения и эксплуатации нельзя подвергать баллоны с газами нагреву, так как это приводит к повышению давления в них и может привести к взрыву.

Изм.	Лист	№ докум.	Подпись	Дата

6.2. Экологическая безопасность

Перед началом производства работ следует выполнить следующие работы:

- оформить в природоохранных органах все разрешения, согласования и лицензии, необходимые для производства работ по данному объекту;
- заключить договора со специализированными организациями на сдачу отходов, нефтезагрязненного грунта, сточных вод образующихся в процессе производства работ;
- оборудовать места временного размещения отходов в соответствии с нормативными требованиями.

При организации работ необходимо осуществлять мероприятия и работы по охране окружающей среды, которые должны включать предотвращение потерь природных ресурсов, предотвращение попадания загрязняющих веществ в почву, водоемы и атмосферу.

Виды воздействий на природную среду в период проведения работ:

- эагрязнение выбросами выхлопных газов от строительной техники при производстве работ;
- > выбросы при производстве сварочных и изоляционных работ;
- > образование и размещение отходов, образующихся при работах.

Перед началом работ необходимо обеспечить наличие отвода земельного участка. С целью уменьшения воздействия на окружающую среду все работы должны выполняться в пределах полосы отвода земли.

Для снижения воздействия на поверхность земель предусмотрены следующие мероприятия:

- **р** своевременная уборка мусора и отходов для исключения загрязнения территории отходами производства;
- запрещение использования неисправных, пожароопасных транспортных и строительно-монтажных средств;
- > применение строительных материалов, имеющих сертификат качества;

Изм.	Лист	№ докум.	Подпись	Дата

▶ выполнение работ, связанных с повышенной пожароопасностью, специалистами соответствующей квалификации.

Загрязнение атмосферы в период производства работ носит временный обратимый характер.

Производственные и бытовые стоки, образующиеся на строительной площадке, должны очищаться и обезвреживаться в порядке, предусмотренном проектом организации строительства и проектами производства работ.

Проведение работ, движение машин и механизмов, складирование и хранение материалов в местах, не предусмотренных проектом, ЗАПРЕЩАЕТСЯ.

Загрязнение атмосферного воздуха в период проведения работ происходит за счет неорганизованных выбросов и является кратковременным.

К загрязняющим веществам относятся продукты неполного сгорания топлива в двигателях строительных машин и механизмов, вещества, выделяющиеся при сварке труб, выполнении изоляционных, земляных работ и при доставке строительных материалов.

Источниками неорганизованных выбросов в воздушный бассейн являются:

- > автотранспорт при перевозке строительных материалов;
- > работающие строительные машины и механизмы;
- > сварочные работы.

6.3. Безопасность в чрезвычайных ситуациях

Пожарная безопасность в зоне проведения сварки резервуара вертикального стального типа РВС 10000 м³

Классификация зданий, сооружений и помещений по пожарной и взрывопожарной опасности применяется для установления требований пожарной безопасности, направленных на предотвращение возможности возникновения пожара и обеспечение противопожарной защиты людей и

Изм.	Лист	№ докум.	Подпись	Дата

имущества в случае возникновения пожара в зданиях, сооружениях и помещениях.

Место проведения работ при сварке резервуара вертикального стального типа РВС 10000 м3 относится к категории А - повышенная взрывопожароопасность. К такой категории относятся помещения, в которых находятся (обращаются) горючие газы, легковоспламеняющиеся жидкости с температурой вспышки не более 28 градусов Цельсия в таком количестве, что могут образовывать взрывоопасные парогазовоздушные смеси и (или) вещества и материалы, способные взрываться и гореть при взаимодействии с водой, кислородом воздуха или друг с другом (ФЗ от 22 июля 2008 г. № 123-ФЗ "Технический регламент о требованиях пожарной безопасности").

Места, где проводятся сварочные работы, должны быть укомплектованы первичными средствами пожаротушения:

- \triangleright асбестовое полотно размеров 2×2 м − 2 шт.;
- ▶ огнетушители порошковые ОП-10 10 шт., или углекислотные
- ▶ ОУ-10 10 штук или один огнетушитель ОП-100 (ОП-50 2 шт.);
- ▶ лопаты 2 шт.;
- ▶ ведра 2 шт.;
- **>** топор, лом по 1 шт.

Допуск работников к проведению работ должен осуществляться после прохождения ими противопожарного инструктажа. Если происходит изменение специфики работ, то необходимо провести внеочередной инструктаж.

Вся передвижная техника в охранной зоне МН должна быть обеспечена искрогасителями заводского изготовления.

Машины, сварочные аппараты, компрессоры, задействованные в производстве подготовительных и огневых работ, должны оснащаться не менее чем двумя огнетушителями ОУ-10, ОП-10.

			·	
Изм.	Лист	№ докум.	Подпись	Дата

Приказом устанавливается соответствующий противопожарный режим, в котором должно быть:

- порядок утилизации горючих отходов, места хранения промасленной спецодежды;
- > порядок отключения от питания электрооборудования в случае пожара;
- ▶ последовательность проведения огневых и пожароопасных работ, действия и обязанности работников при возникновении пожара;
- порядок и сроки прохождения внеочередного противопожарного инструктажа, время проведения занятий по подготовке к борьбе с пожаром.

Руководитель работ должен совместно с работниками пожарной охраны определить места установки противопожарного оборудования и обеспечить необходимым противопожарным инвентарем.

Горючие отходы, мусор должны складироваться на специально отведенных для этого местах выделенных площадках в специальной таре, а затем должны быть утилизированы.

Место проведения работ необходимо обеспечить прямой связью с ближайшим подразделением пожарной охраны или оператором НПС.

Спецодежда лиц, работающих с маслами, лаками, красками должна храниться в подвешенном виде в металлических шкафах, установленных в специально отведенных для этой цели местах.

При работе категорически запрещается курить на рабочем месте.

На рабочих местах должны быть вывешены предупредительные надписи: "Не курить", "Огнеопасно", "Взрывоопасно".

В случае возникновения пожара использовать пенные, порошковые, углекислотные огнетушители или приспособления для распыления воды.

Меры пожарной безопасности при подготовке и производстве сварочно-монтажных работ в зоне проведения сварки резервуара вертикального стального типа РВС 10000 м³

Весь переносной электроинструмент должен быть обязательно подключен через устройство защитного отключения (УЗО).

Изм.	Лист	№ докум.	Подпись	Дата

Производство сварочных работ запрещено во время снега или дождя без использования специальной сварочной палатки над местом проведения работ и при скорости ветра больше 10 м/с.

Запрещается проведение сварочно-монтажных и погрузочно-разгрузочных работ в грозу.

При перевозке баллонов с газом на них должны быть навинчены защитные колпаки. Нахождение людей в кузове автомобиля при перевозке баллонов с газом строго запрещено.

Баллоны для газа должны периодически проходить технический осмотр. На горловине баллона должна быть нанесена дата следующего технического осмотра. Баллоны не прошедшие освидетельствование к эксплуатации не допускаются. Баллоны должны быть укрыты от воздействия прямых солнечных лучей, а расстояние от источников открытого огня до баллонов должно быть не менее 5 м. Редукторы, которые используют для снижения давления, должны быть выкрашены в тот же цвет, что и газовый баллон. Запрещается использование редукторов, которые имеют неисправные или не проверенные манометры. Запрещается подогревать баллоны для повышения давления.

6.4. Правовые и организационные вопросы обеспечения безопасности

В области охраны труда и безопасности жизнедеятельности трудовую деятельность регламентируют следующие правовые, нормативные акты, инструктивные акты в области охраны труда и отраслевые документы:

- > Закон об основах охраны труда в РФ №181-ФЗ от 17.07.1999 г (с изменениями от 20 мая 2002 г., 10 января 2003 г., 9 мая, 26 декабря 2005г.;
- ▶ Федеральный закон о промышленной безопасности опасных производственных объектов 116-ФЗ от 21.07.1997 г.;
- ▶ Федеральный закон от 22 июля 2008 г. N 123-ФЗ "Технический регламент о требованиях пожарной безопасности";

Изм.	Лист	№ докум.	Подпись	Дата

- ▶ Трудовой кодекс №197-ФЗ (с изм. и доп., вступ. в силу с 13.04.2014);
- ▶ Правила безопасности в нефтяной и газовой промышленности ПБ 08-624-03;
- > Инструкции по технике безопасности предприятия;
- ▶ Порядок разработки деклараций безопасности промышленного объекта РФ. МЧС, Госгортехнадзор №222/59 от 4.04.1996 г.;
- ➤ ГОСТ 12.0001-82 ССБТ «Система стандартов безопасности труда»;
- ➤ ОСТ 51.81.82 ССБТ «Охрана труда в газовой промышленности»;
- ➤ Санитарные нормы проектирования промышленных предприятий. СНиП .21/2.11.567-96 от 31.10.1996 г.;
- > Закон о пожарной безопасности №69-ФЗ, принят 21.12.1994 г (с дополнениями и изменениями от 22.08.1995 г, от 18.04.1996г, от 24.01.1998 г, от 11.2000 г. от 27.12.2000 г.;
- ▶ Пожарная охрана предприятий. Общие требования. НБТ 201-96, утв. 01.03.1992г.;
- ▶ Правила пожарной безопасности РФ ППБ-01-93. МВД РФ 14.12.1993 г.

Изм.	Лист	№ докум.	Подпись	Дата

Заключение

В ходе сбора материала для выпускной квалификационной работы, анализа литературных источников и собственных наблюдений можно сделать вывод, что комплекс диагностических методов исследования, определяющих дефекты линейной части или резервуаров товарной нефти на сегодняшний достаточно большой: акустический, капиллярный, оптический, тепловой, радиационный, радиоволновый, электромагнитный, визуальный. Их правильный выбор позволит максимально быстро и качественно получать необходимые характеристики объектов, в частности характеристики состояниях сварных соединений трубопроводов Это резервуаров. во многом определяет успешность длительной эксплуатации объектов магистрального транспорта

Среди методов неразрушающего контроля, УЗК с помощью автоматизированных систем проводится в среднем в 4 раза быстрее, чем радиография. Это приводит к уменьшению в 4 раза количества требуемых для эквивалентного объема контроля установок (лабораторий) по сравнению с радиографией.

Данный вид контроля, как было показано выше, технологически и экономически обоснован, имеет всю необходимую нормативную базу, абсолютно безопасен для персонала.

						Лист
					Заключение	07
Изм.	Лист	№ докум.	Подпись	Дата		97

Список используемой литературы

- 1. Демин А. М. Стальные резервуары: диагностика, типовые проекты, оборудование// Трубопроводный транспорт нефти.— 2007.— № 6 С.17—20.
- 2. Нератов Д. М. Трудные километры «ЦентрСиба» // Трубопроводный транспорт нефти. 2007. № 3 С.12–17
- 3. Мустафин Ф. М., Блехерова Н. Г., Квятковский О. П. Контроль качества кольцевых сварных соединений трубопроводов// Сварка трубопроводов. 2002. № 1 С.250–286.
- 4. Справочник мастера строительно-монтажных работ. Сооружение и ремонт нефтегазовых объектов: учебно-практическое пособие / под ред. В. А. Иванова. М.: Инфра-Инженерия, 2007. 832 с.
- 5. Типовые расчеты при сооружении и ремонте стальных вертикальных резервуаров: учебное пособие / Л. И. Быков [и др.]. СПб.: Недра, 2006. 824 с.
- 6. ГОСТ 12.0.003-74.ССБТ. Опасные и вредные производственные факторы. Классификация.
- 7. ГОСТ 12.1.003 83 (1999) ССБТ. Шум. Общие требования безопасности.
- 8. ГОСТ 12.1.004-91 ССБТ. Пожарная безопасность. Общие требования (01.07.92).
- 9. ГОСТ 12.1.005-88 (с изм. №1 от 2000 г.). ССБТ. Общие санитарногигиенические требования к воздуху рабочей зоны (01.01.89).
- 10. ГОСТ 12.1.007-76 ССБТ. Вредные вещества. Классификация и общие требования безопасности.
- 11. ГОСТ 12.1.019 79 (с изм. №1) ССБТ. Электробезопасность. Общие требования и номенклатура видов защиты.
- 12. РД-25160.10-КТН-050-06 «Инструкция по технологии сварки при строительстве и ремонте стальных вертикальных резервуаров»
- 13. ГОСТ 12.2.003-91 ССБТ. Оборудование производственное. Общие требования безопасности.
- 14. ОСТ 23.040.00-КТН-574-06. Стандарт отрасли. Нефтепроводы магистральные. Определение прочности и долговечности труб и сварных соединений с дефектами.
- 15. Правила безопасности в нефтяной и газовой промышленности. М.: НПО ОБТ, 2001. 258 с.

Изм.	Лист	№ докум.	Подпись	Дата

- 16. ППБ 01-03. Правила пожарной безопасности в Российской Федерации.
 - М.: Министерство Российской Федерации по делам гражданской обороны, чрезвычайным ситуациям и ликвидации последствий стихийных бедствий, 2003.
- 17. РД-13.220.00-КТН-367-06. Пожарная охрана объектов МН ОАО «АК «Транснефть» и дочерних акционерных обществ.
- 18. РД-23.040.00-КТН-090-07. Классификация дефектов и методы ремонта дефектов и дефектных секций действующих магистральных нефтепроводов
- 19. РД 153-39.4-115-01. Удельные нормативы образования отходов производств и потребления при строительстве и эксплуатации объектов ОАО «АК «Транснефть».
- 20. СНиП П-12-77. Защита от шума. ППБ 01-03. Правила пожарной безопасности в Российской Федерации. М.: Министерство Российской Федерации по делам гражданской обороны, чрезвычайным ситуациям и ликвидации последствий стихийных бедствий, 2003.
- 21. РД-13.220.00-КТН-367-06. Пожарная охрана объектов МН ОАО «АК «Транснефть» и дочерних акционерных обществ.
- 22. СНиП П-12-77. Защита от шума.
- 23. ПБ 03-605-03 «Правила устройств вертикальных стальных цилиндрических резервуаров для нефти и нефтепродуктов»
- 24. РД 16.01-60.30.00-КТН-026-1-04 «Нормы проектирования стальных вертикальных резервуаров для хранения нефти V 1000-50000м³»
- 25. СП 53-102-2004 «Общие правила проектирования стальных конструкций»
- 26. Глизманенко Д.Л. Сварка и резка металлов
- 27. http://websvarka.ru
- 28. http://www.avek.ru/

Изм.	Лист	№ докум.	Подпись	Дата